

Yapay Zeka Algoritmalarında Kullanılan Tahmin Metotları ile Çimento ve Betonunun Basınç Dayanımına Etki Eden Faktörlerin İncelenmesi

Investigation of Factors Affecting Compressive Strength of Cement and Concrete with Prediction Methods Used in Artificial Intelligence Algorithms

Kübra TÜMAY ATEŞ¹ 

¹ Çukurova Üniversitesi, Endüstri Mühendisliği Bölümü, 01250, Adana, Türkiye

Öz

Artan nüfusla birlikte konut veya yapılara duyulan ihtiyaç artmıştır. Bu durum da inşaat sektörünün çekirdeği olan çimento ve beton ihtiyaçlarının artmasına sebep olmuştur. Ancak çimento veya betonu oluşturan bileşenlerin içeriğinin değişmesi ya da üretimde olasabilecek herhangi bir aksaklık durumunda nihai ürünlerin de eksik veya hatalı üretilmesine sebebiyet verebilmektedir. Aynı zamanda çimento veya beton üretiminde, bileşenlerin karışım oranlarının belirlenmesi betonun basınç dayanımını ölçebilmeyi zorunlu kılmaktadır. Bu kapsamda, nihai ürün olan beton veya çimentonun basınç dayanımının ölçülmesi sektörel olarak kaçınılmaz bir durum haline gelmiştir. Bu durum da fabrikalardaki dayanım testlerinin belirli zaman aralıkları ile ölçülmesi ile mümkündür. Nihai ürünlerin üretilmesi aşamasında zamanı verimli kullanabilmek adına yapılmış olan bu çalışmada; çimento veya betonun basınç dayanımının tahminlemesi ve bunları oluşturan bileşen miktarlarının da basınç dayanımına olan etkisi uzun yıllardır incelenen ve çalışılan konular arasında yer almaktadır. Buradan yola çıkılarak çalışmanın temel planı yapay zeka metotları ile yapılmış geniş bir literatür taraması neticesinde elde edilen bulguları iki farklı başlık altında inceleyerek sonuçları yorumlamaktır. Yapılan analizin başlıca eğilimi çimentonun ve betonun basınç dayanımını etkileyen faktörlerin ortaya çıkarılmasıdır. Çalışmada, konuya ilgili 1997- 2021 yılları arasında yayınlanmış 1012 çalışma incelenmiştir. Araştırmaya dahil edilecek olan kriterler göz önünde bulundurularak 52 yayın çalışma için uygun bulunmuştur. Yayınlar konu, limit ve bileşen karşılaştırması açısından değerlendirilmiştir. Çalışmadan elde edilen bulgular neticesinde, çimento ve betonun basınç dayanımına etki eden faktörlerin; kürlenme günü süresi, çimento-su oranı, katkı maddeleri oranı ve bileşen oranı olduğu tespit edilmiştir.

Anahtar Kelimeler: Çimento Bileşenleri, Basınç Dayanımını Etkileyen Faktörler, Yapay Sinir Ağrı Metodu, Yapay Zeka Tahmin Metotları

Abstract

With the increasing population, the need for housing or buildings has increased. This situation has led to an increase in the needs of cement and concrete, which are the core of the construction industry.. However, in case of a change in the content of the components that make up the cement or concrete or any malfunction that may occur in the production, it may cause the final products to be produced incompletely or incorrectly. At the same time, in the production of cement or concrete, the determination of the mixing ratios of the components makes it necessary to measure the compressive strength of the concrete. In this context, measuring the compressive strength of the final product, concrete or cement, has become an inevitable sectoral situation. This is possible by measuring the strength tests in factories at certain time intervals. In this study, which was carried out in order to use time efficiently during the production of final products; The estimation of the compressive strength of cement or concrete and the effect of the amount of components that make them up on the compressive strength are among the subjects that have been studied and studied for many years. From this point of view, the basic plan of the study is to interpret the results by examining the findings obtained as a result of a wide literature review made with artificial intelligence methods under two different headings. The main tendency of the analysis is to reveal the factors affecting the compressive strength of cement and concrete. In the study, 1012 studies published between 1997 and 2021 on the subject were examined. Considering the criteria to be included in the research, 52 publications were found suitable for the study. The publications were evaluated in terms of subject, limit and component comparisons. As a result of the findings obtained from the study, the factors affecting the compressive strength of cement and concrete; curing day time, cement-water ratio, additives ratio and component ratio were determined.

Keywords: Cement Components, Factors Affecting Compressive Strength, Neural Network Method, Artificial Intelligence Prediction Methods

I. GİRİŞ

Çimento üretimi için gerekli olan klinkerin ana hammaddeleri kalker, kıl, demir cevheri ve boksittir. İçerisinde en yüksek konsantrasyona sahip olan kalker ve kıl, çeşitli kaynaklardan elde edilmektedir. Hammaddeler genellikle

Sorumlu yazar: Kübra TÜMAY ATEŞ, Tel: 05388850403, e-posta: ktumay@cu.edu.tr

Gönderilme: 21.10.2021, **Düzenleme:** 11.05.2022, **Kabul:** 11.05.2022

belli bir elek üstünde % bakiye olarak tarif edilen inceliklere öğütülür. Bu incelik, kimyasal analizlerle tayin edilen ve imal edilecek klinkerin tipine özgü testlerle tespit edilir [1]. Çimento üretiminin temel prosesi klinker elde etme aşamasıdır. Farin, döner fırın ünitesinde ~1350- 1400°C'ye ısıtılarak pişirilir. Pişen ana ürüne klinker denir. Pişirme işlemi için ihtiyaç duyulan ısı enerjisi genellikle kömürden sağlanmaktadır. Kömür kullanılmadan önce yakıt hazırlama denen bir süreçten geçer. Bu süreçte kömür ortalama 10 mikron tane büyülüğu ve %2 rutubet olacak şekilde dejirmenlerde öğütülmüş, silolara beslenir. Toz haldeki kömür iki ayrı noktadan, fırın kafası olarak tabir edilen fırın girişinden ve kalsinatorden fırına girer. Pişme işlemi sırasında farindeki bir takım oksitler birbirleriyle reaksiyona girerek yeni yapılar oluştururlar. Pişmiş haldeki bu malzemeye klinker adı verilir. Firinden çıkan 1200°C sıcaklığındaki klinker, çıkışta 100°C'nin altına düşecek şekilde ani soğutma işlemine tabi tutulur. Soğutma işlemi, klinkerin pişme işleminde oluşan kristal yapısını koruması açısından büyük önem taşır. Soğutma çıkışı sonrasında, klinker uygun stoklama bölgelerine alınır. Klinkerin saflığı miktarı, fiziksels ve kimyasal özellikleri çimentonun aktivite indeksi üzerinde büyük bir role sahiptir [2,4].

Genel olarak, cürüflu çimentolar çoğu kimyasal katkı maddeleriyle sorunsuz olarak kullanılabilir. Ancak, tüm diğer çimentolarda olduğu gibi, cürüflu çimentolarla üretilen betonlarda kimyasal katkı kullanmak gerekiği taktirde, gerçek koşullara uygun koşullarda denemeler yapılmasında yarar vardır. ASTM C 595 "Standard Specification for Blended Hydraulic Cements" (49) standardında katkılı çimentolarda kullanılabilen granüle yüksek fırın cürüfuna (GYFC) ilişkin koşullar genel olarak belirtilmiştir. Bu standardta, GYFCnin kullanılabilirliğinin belirleneceği deney yöntemi GYFC içeren çimentoların üretiminde uygulanan öğretme şekline göre değişiklik gösterir. Klinker ve cürüfun ayrı öğretildiği durumlarda, ıslak eleme ile 45 µm elek bakiyesi %20'den fazla olmayan bir incelikteki cürüfun 28 günlük aktivite endeksinin %75'den yüksek olması gerekmektedir. Söz konusu aktivite endeksi, kısaca, portland çimentosuyla bir kısım portland çimentosu yerine GYFC kullanılmış cürüflu çimentonun dayanımlarının oranıdır. Birlikte öğretme koşullarında ise cürüf aktivite endeksi bulunurken kullanılacak cürüfun inceliğinin cürüflu çimento içindeki tahmini inceliğe aynı olması gerekmektedir. Bunun dışında, ASTM C 1073 "Test Method for Hydraulic Activity of Ground Slag by Reaction With Alkali" (50) standardında cürüfun hidrolik aktivitesini 24 saatte belirleyen bir test yöntemi bulunmaktadır. Bu yönteme göre, öğretülmüş GYFC ve karışım suyu olarak sodyum hidroksit çözeltisi kullanılmış olan küp numunelerde, hızlandırılmış bakım uygulandıktan sonra, basınç dayanımı bulunur. Söz konusu yöntem aynı kaynaktan düzenli olarak alınan cürüfların kalite

kontrolünü amaçladığından bulunan bu dayanım değeri ile ilgili bir sınırlama bulunmamaktadır.

Türkiye standartları için ise; TS EN 197-1 standardında CEM III olarak ifade edilen çimentolar "yüksek fırın cürüflu çimento"lardır. Bu çimentolar tiplerine bağlı olarak % 36 ile % 95 oranları arasında yüksek fırın cürüfu içerebilirler. Yüksek fırın cürüfu, demir-çelik tesislerindeki yüksek fırılarda demir üretimi esnasında açığa çıkan bir yan ürünüdür. Yüksek fırın cürüfu aniden soğutularak granül hale getirilir ve daha sonrasında öğütülür. Öğütülen bu malzeme çimentoya katılabildiği gibi betonda ayrı olarak da kullanılabilmektedir. Yüksek fırın cürüfu tek başına bağlayıcılık özelliği olmayan, ancak klinker veya Portland çimentosu ile birlikte kullanıldığında bağlayıcılık özelliğini kazanan bir malzemedir. Yüksek fırın cürüfunun betonun fiziksels ve mekanik özelliklerine oldukça fazla olumlu katkısı vardır. Yüksek fırın cürüfu ve yüksek fırın cürüflu çimento ile yapılan betonun en önemli üstünlüğü çevresel etkilere karşı daha dirençli olmasıdır. Bu nedenle sulfat etkisi, deniz suyu etkisi, donma-çözünme etkisi ve aşınma etkisi gibi çevresel faktörlerin baskın olduğu yerlerde kullanımı faydalıdır. Ayrıca betonun daha işlenebilir ve geçirimsiz olmasını sağlar ve uzun vadede basınç dayanımı cürüf içermeyen betonlara oranla daha yüksektir [2-5].

Çimento ve betonu oluşturan bileşenler ve günler bazındaki basınç tahmini kapsamında yapılmış onde gelen çalışmalar kategorilere ayrılarak detaylı şekilde incelemiş ve sonuçları yorumlamıştır. Benzer çalışmaların bulguları ayrı ayrı sunulmuştur. İncelenen çalışmalara bakıldığından, çimento veya betonu oluşturan bileşenlerin basıncı çok yönlü olarak etkileyebilecegi yargısına ulaşılabilir.

Çimento ve betonun basınç dayanımına etki eden faktörlerin yapay zeka metotları kapsamında incelemesi, konuyu çok ayrıntılı bir şekilde ele alış şekli, analiz edilen detaylı bileşenler kapsamında ilk kez yapılan bir çalışmadr. Bu çalışmada betonu ve çimentoyu oluşturan bileşenler ayrı başlıklar altında çok detaylı şekilde irdelenmiştir. Böylece betonu ve çimentoyu oluşturan bileşenlerin çok ufak miktarlarda da olsa değiştirilmesi sonucunda karışımın basınç dayanımını değiştireceği tespit edilmiştir. Böylelikle bu çalışma, inşaat sektörü ve çimento ile ilgili yapılabilecek herhangi bir çalışma türü için önemli ve detaylı bilgiler içermektedir.

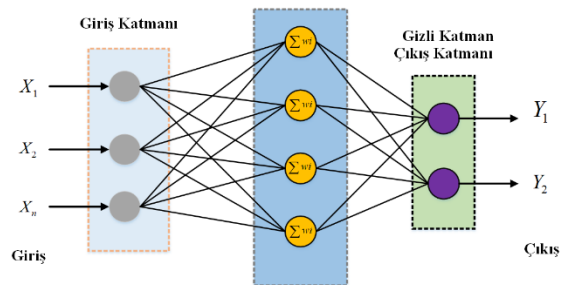
Çalışma kapsamında detaylı bir literatür taraması yapılmış ve konu, limit ve bileşen karşılaştırmaları yapılmıştır. Bu kapsamında 1997-2021 yılları arasında 1012 çalışma taramış ve 56 yayın analiz edilerek betonun ve çimentonun basınç dayanımına etki eden faktörler ayrıntılı bir şekilde karşılaştırılarak ortaya konmuştur. Çalışma neticesinde bu etkenlerin birçok parametreye bağlı olduğu saptanmıştır.

II. MATERİYAL VE YÖNTEM

Beton veya çimento sektöründe uygulanan, basınç dayanım tahmin metotları ve bileşenlerin basınç dayanımına olan etkisini ortaya çıkarabilmek amacıyla geniş kapsamlı bir literatür çalışması yapılmıştır. Konuya ilgili 1997- 2021 yılları arasında yayınlanmış 1012 çalışma incelenmiş ve analiz edilmiştir. Sistematiğin inceleme için araştırmaya dahil edilecek olan kriterler göz önünde bulundurularak 52 yayın çalışma için uygun bulunmuş ve çalışmada yer verilmiştir. Yayınlar konu, limit ve bileşen karşılaştırmaları açısından değerlendirilmiştir. Çalışmada Science Direct, Pergamon, Elsevier ve ULAKBİM veri tabanları kullanılmıştır. Ayrıca 'Factors Affecting Compressive', 'Cement Components' anahtar kelimeleri kullanılarak taranmıştır. Taranan yaynlarda çimentonun basınç dayanımına etki eden faktör ve bileşenler sınır olarak belirlenmiş ve özellikle çimento sektöründe hali hazırda bilinen özelliklerden daha farklı bileşenlerin dayanımı nasıl etki ettiği araştırılmıştır. Çalışmaların hepsi yazar tarafından bağımsız bir bakış açısıyla değerlendirilmiştir. Aynı zamanda Türk Standartları Enstitüsü'nün yayımlamış olduğu standartlar [2-5] de incelenerek gerekli bilgiler toplanmaya çalışılmıştır. Bu bağlamda beton ve çimento sektörleri ayrı ayrı incelenmiş ve yapılan çalışmaları ayrı başlıklar halinde detaylı olarak verilmiştir. Bu çalışmalarında kullanılan bileşenler, yöntemler ve basınç dayanımına olan etkilerin neler olduğu analiz edilip değerlendirilmiştir. Yapılan literatür çalışmalarında, bileşenlerin basınç dayanımına olan etkilerinin bulunabilmesi ve nihai ürünlerin basınç dayanımı tahmininde son zamanlarda kullanılan en yaygın yöntemlerden biri olan yapay zeka teknikleri diğer metodlara oranla daha ayrıntılı olarak ele alınmıştır.

Ek olarak çalışmada kullanılan Yapay Sinir Ağları (YSA)'nın teorik mimari yapısı ve basit formülü tanımlanmıştır. YSA, girdi ve çıktı verileri arasındaki doğrusal ve doğrusal olmayan karmaşık ilişkileri öğrenme algoritması ile inceleyebilen, insan beynindeki nöronların çalışma sistemini örnek alan matematiksel bir olgudur [6-7]. Herhangi bir sistem için basit bir YSA modeli geliştirmek ağın topolojisini, eğitim algoritmasını ve aktivasyon fonksiyonlarının tanımlanması ile mümkündür. Sinir ağları, her biri bilinen bir "girdi" ve "sonuç" içeren örnekleri işleyerek öğrenir (veya eğitilir), ikisi arasında ağın veri yapısı içinde depolanan olasılık ağırlıklı ilişkiler oluşturur. Belirli bir örnektenden bir sinir ağının eğitimi, genellikle ağın işlenmiş çıktısı (genellikle bir tahmin) ile bir hedef çıktı arasındaki farkın belirlenmesiyle gerçekleştirilir. Bu fark hatadır. Ağ daha sonra ağırlıklı ilişkilerini bir öğrenme kuralına göre ve bu hata değerini kullanarak ayarlar. Art arda yapılan ayarlamalar, sinir ağının hedef çıktıya giderek daha fazla benzeyen çıktı üretmesine neden olur. Yeterli sayıda ayarlamadan sonra eğitim, belirli kriterlere göre sonlandırılabilir [6-7].

YSA modellemesinin geri yayılma algoritması, çok katmanlı ileri beslemeli ağların eğitimi için en uygun yöntem olarak kabul edilir (Şekil 1). Yapay nöronlar, ağırlıklı ara bağlantılarla çok girdili doğrusal olmayan süreçler olarak modellenir. Bir geri yayılma ağının eğitimi için algoritma, önerilen yaklaşıma göre geliştirilebilir (Denklem 1). Burada X_j ağındaki girdileri, w_{ij} hatayı azaltmak için kullanılan ağırlık değerini, Q_i ise eşik değerini ifade etmektedir. Ayrıca f_i modele uygulanan fonksiyon iken y_i modelin tahmin sonucudur (Denklem 1) [6-7].



Şekil 1. Basit bir YSA için Örnek Mimari Yapı [6-7]

$$y_i = f_i \left(\sum_{j=1}^n w_{ij} x_j + Q_i \right) \quad (1)$$

2.1. Çimento ve Betonun Basınç Dayanımına Etki Eden Faktörlerin Yapay Sinir Ağı (YSA) Metodu İle Analizi

Çalışmanın bu bölümünde kullanılan analiz metodu YSA'dır. YSA insan davranışının temeli olan öğrenme mekanizmasına başvurarak beyin işlevlerini bilgisayarlı bir şekilde yansıtma çalışırlar. Öğrenebilme yetenekleri sayesinde alınan örnekleri kullanarak, algoritmik çözümlerin olmadığı veya bulunamayacak kadar karmaşık algoritmik çözümlerin olduğu problemlere uygulanabilir. Verileri işleyebilme yetenekleri sayesinde YSA, parametrik yaklaşımardan daha esnek ve güvenli olduğu için tercih edilmiştir. Bu kapsamında taranan literatürün ayrıntıları sırasıyla verilmiştir.

Dantas ve arkadaşları [8] yapmış oldukları çalışmada; beton içeren inşaat ve yıkım atıklarının basınç dayanımını, YSA modelleri geliştirerek tahmin etmeye çalışmışlardır. İnşaat ve yıkım atıklarını içeren betonların 3,7,28 ve 91 günlük verileri kullanılmıştır. Modelleri oluşturmak için kullanılan deneyel sonuçlar literatürden toplanmıştır. Toplamda, YSA modellemesi için 1178 veri kullanılmıştır. Eğitim aşamasında verilerin %77.76'sı ve test aşamasında %22.24'ü kullanılmıştır. Modeli oluştururken, bir çıktı parametresini elde edilmesi için 17 girdi parametresi kullanılmıştır. Hem eğitim hem de teste elde edilen sonuçlar YSA'nın 3,7,28 ve 91 günlük basınç dayanımını tahmin etmek için potansiyel kullanımını kuvvetli bir biçimde göstermektedir. Sonuçlar istatistiksel metotlar ile birlikte yorumlandığında, çıktı değerlerinin deneyel değerlere çok yakın olduğunu

gözlemlemiştirlerdir. Bu sebeple yapmış oldukları tahminin doğruluğunu ortaya koyarak literatüre katkıda bulunmuşlardır.

Bir başka çalışmada Nasuf ve Özbakır [8]; çalışmalarında Agregar hammaddesinin fiziksels özelliklerinin beton dayanımına etkisini YSA ile araştırmışlardır. Çalışmalarında uygulamayı YSA'nın Geriye Yayılım Öğrenme Algoritması ve deneysel metodu karşılaştırarak yapmışlardır. Betonun, büyük çoğunluğunu oluşturan agregar dışındaki tüm bileşenleri sabit tutarak 7 ve 28 günlük basınç dayanımı testleri yapılmıştır. Geliştirdikleri YSA modelinde giriş katmanları agregarların fiziksels özelliklerini, çıkış katmanında ise betonun 7 ve 28 günlük dayanım sonucu değerlerini kullanılmışlardır. Modelin öğrenme kapasitesini artırbilmek için giriş ve çıkış katmanları arasına gizli katmanlar koymuşlardır. Deneysel metotta ise agregarların fiziksels ve mekanik özelliklerini ölçerek, deneylerinde özgül ağırlığı $31,7 \text{ gr/cm}^3$ olan CEMI 42,5 R tipi çimento kullanılmışlardır. Betonu oluşturan agregarların fiziksels ve mekanik özellikleri 21 farklı parametre ile ifade edilmiştir. 2 farklı YSA modeli kurularak, modelin girdilerini agregarların özellikleri olarak belirlenmiş, çıkış parametresi ise beton dayanımı olarak belirlenmiştir. Toplam 334 numune alınarak yapılan çalışmada, 250 adet veri YSA eğitim verisi olarak kullanılmıştır. 84 tanesi ise YSA'nın eğitim verisini oluşturmuştur. Yapmış oldukları çalışmalar neticesinde deneysel metodları ve YSA'yi kıyasladıklarında tahmin değerlerinin birbirlerine çok yakın olduğunu görerek 7 ve 28 günlük değerleri başarı ile tahmin etmişlerdir.

Aynı yöntemle farklı bir test yapan Çağlar ve arkadaşları [9], yapay sinir ağları ile betonarme kırışının hasar analizi tahminini yapmaya çalışmışlardır. Basit mesnetli izotropik kırışının kesme dayanımlarını tanımlamak için geliştirilen birçok çalışmaya ek olarak YSA geri yayılım algoritması ile alternatif bir çalışma ortaya koymuşlardır. Bu alanda yapılan 24 deneyel çalışma neticesinde 12 adet veriyi YSA modelini eğitmek için kullanılmışlardır. Geriye kalan 12 veriyi ise test aşamasında kullanılmışlardır. İki farklı YSA modeli geliştirilmiştir ve ilk YSA modelinde, girdi katmanı değerleri için yedi parametre kullanılmışlardır. İkinci modelde ise ilk modelden alınan parametre ile tamamlanmıştır. Gizli katman sayısının bir olarak geliştirildiği bu modelde, YSA performans sonuçlarının grafiğe dökülmesi ile literatüre farklı bir bakiş açısı kazandırılmıştır.

Yüzer ve arkadaşları [10], yüksek sıcaklık etkisinde kalan betonun basınç dayanımı ve renk değişimi ilişkisini yapay sinir ağları yöntemi ile tahmin etmeye çalışmışlardır. Yapmış oldukları çalışmada, yüksek sıcaklığın ve söndürme türünün betonun fiziksels ve mekanik özelliklerine etkileri deneyel metodlarla incelenmiştir. Akabinde Yapay Sinir Ağları yönteminden yararlanarak, renk değişimi ve ultrases-

geçiş hızı ile basınç dayanımı arasındaki ilişkileri araştırmışlardır. Çalışmada CEM I 42.5 R çimentosu, ve farklı sayı-çeşitte hammaddeler kullanılarak üretilen betonlar, farklı yüksek sıcaklıklarda çeşitli deneylere tabi tutulmuştur. Problem, geri yayılım algoritmalı ve çok katmanlı bir YSA modeli ile tahmin edilmiştir. Deneyel çalışma bir parametresi de CEMI 42.5 R'i içeren dört farklı aşamada gerçekleştirilmiştir. YSA tahminlemesi ise iki farklı model ile oluşturulmuştur. Modelin girdi katmanında betonun dayanımını etkileyen dört farklı parametre, çıktı katmanında ise betonun basınç dayanımı yer almıştır. YSA modelinde 47 veri kullanılmıştır. Bunlardan 38 tanesi veriyi eğitmek için kullanılırken, 9 tanesi ise veriyi sınama için kullanılmıştır. Yapılan çalışmalar sonucunda lineer regresyon yapılarak korelasyon katsayısının yüksek olduğu ortaya konulmuştur. Sonuçları bir başka YSA analizi ile de sınayarak hemen hemen aynı sonuçları elde etmişlerdir (Hegazy ve Ayed'in yöntemi). Çalışmanın genel olarak sonuçları incelediğinde, tahminlerin ortalama %95,34 oranında doğru olduğunu saptamışlardır.

Bir başka çalışmada Wang ve arkadaşları [11], çelik cürufenin mineral bileşimlerini değiştirerek hidrasyon aktivitesinin artırılması üzerine bir çalışma yapmışlardır. Bu çalışma, çelik cürufenin çimentolu özelliklerini iyileştirmenin yollarını araştırmayı amaçlamaktadır. Çalışmada kullanılan çelik cürufenin spesifik yüzey alanı $458 \text{ m}^2/\text{kg}$ iken, kullanılan çimentonun spesifik yüzey alanı $312 \text{ m}^2 / \text{kg}$ 'dır. Çin Ulusal Standardı GB 175-1999'a uygun olarak 42.5 kuvvet derecesinde Portland çimentosu ile çalışmalarını sürdürmüştür. Orijinal çelik cürufundan başka iki tür çelik cürufu, orijinal çelik cürufenin iki parça halinde ele alınması ile elde edilmiştir. Çelik cürufu-A, orijinal çelik cürufenin toplam kütlesinin % 81'ini oluşturan, 61m'den küçük parçacıkların bölümünü temsil eder. Çelik cürufu-B ise diğer kısmı temsil etmektedir. 3, 28 ve 90 günlük basınç dayanımları Çin Ulusal Standartları GB/T 17671-1999'a göre test edilerek sonuçlar elde edilmiştir. Sonuçlar incelediğinde, çelik cürufenin çimentolu fazının silikat ve alüminattan oluştuğunu göstermektedir, ancak bu fazların büyük parçacıkları çelik cürufenin çimentolu özelliklerine çok küçük bir katkı sağlamaktadır. RO (Reverse Osmosis) fazı ($\text{CaO}-\text{FeO}-\text{MnO}-\text{MgO}$ katı çözeltisi), Fe_3O_4 , C_2F ve f-CaO , çelik cürufenin çimentolu özelliklerine katkıda bulunmamaktadır. Bazı büyük parçacıkların giderilmesiyle daha çimentolu ve daha az RO fazlı yeni bir çelik cürufu elde edilebilir. Bu yeni çelik cürufu, orijinal çelik cürufundan daha iyi çimentolu özelliklere sahiptir. Büyük parçacıklar beton için, ince agregalar olarak kullanılabilir olarak bulunmuştur.

Benzer bir konuyu ele alan Slonski [12], YSA kullanarak, yüksek performanslı betonun basınç dayanımı tahmini için model seçim yöntemlerinin karşılaştırılmıştır. Bu çalışmanın temel amacı, yüksek

performanslı betonun basınç dayanımı tespitinde, otomatik olarak en uygun sinir modellerini oluşturan üç istatistiksel stratejiyi tanıtmak ve karşılaştırmaktır. Girdilerden, su miktarı ve süper akışkanlaştırıcı arasındaki korelasyon katsayısı 0.66'dır. Basınç dayanımı ile çimento miktarı arasındaki lineer korelasyon katsayısı ise 0.50 olarak bulunmuştur. Bu da basınç dayanımı ve çimento arasında güclü bir ilişki olduğunu göstermektedir. Sonuç olarak; yüksek performanslı beton karışımının basınç dayanımının, bir beton karışımı bileşeninin miktarlarını ve betonun yaşıni tanımlayan sekiz girdi bileşeninden ileri beslemeli katmanlı sinir ağı kullanılarak doğru bir şekilde tahmin edilebileceğini göstermiştir.

Özcan ve arkadaşları [13], silika dumanının uzun vadeli basınç dayanımı tahmininde yapay sinir ağları ile bulanık mantık modellerini karşılaştırmıştır. Kullanılan çimento, özgül ağırlığı 3,16 olan CEM I 42,5R tipi Portland cimentosudur. Blaine spesifik yüzey alanı ise $3350 \text{ cm}^2/\text{g}$ 'dır. CEM I tipi çimentonun ve silis dumanın kimyasal bileşiminde; SiO_2 , Al_2O_3 , Fe_2O_3 , CaO , MgO , SO_3 , K_2O , Na_2O maddeleri yer almaktadır. Özgül ağırlık ve birim ağırlık, sırasıyla 2.32 ve 245 kg/m^3 'tür. Silika dumanının 45 mm'lik elek üzerinde kalan kısmı %4.8 'dir. Çakıl %1.3 emme değerinde maksimum 16 mm nominal boyutta tespit edilmiştir ve doymuş yüzey kuru (SSD) koşulundaki nispi yoğunluğu 2.70'dir. Kullanılan kumun absorpsiyon değeri %1.8 ve SSD koşulundaki nispi yoğunluğu 2.61 'dir. Sonuçlar incelendiğinde, silika dumanının 28 güne kadar kısa sürede basınç dayanımını etkilediğini, ardından 28 günden sonra silika dumanının basınç dayanımı üzerindeki etkisini azalttığını göstermiştir. Neticede yapılan çalışmada, YSA ve FL'nin silis duman betonunun, basınç dayanımını öngörmeye alternatif yaklaşımlar olabileceğini göstermiştir. Aynı zamanda YSA ve FL arasındaki R^2 açısından yapılan karşılaştırma, YSA'nın FL sonuçlarından daha iyi sonuçlar verdiği göstermiştir.

Babu ve Kumar [14] yapmış oldukları çalışmada, öğütülmüş tanecikli yüksek fırın cürüfunun (ÖYFC) betondaki etkinliğini araştırmışlardır. Çalışmada 175 karışımından ASTM tip I ($283 \pm 391 \text{ m}^2/\text{kg}$ aralığında inceliği olan) normal Portland çimentosu kullanılmıştır. Normal şartlar altında sertleştirilen 70 betondan oluşan karışımlar değerlendirilmiştir. Betonda, mineral katkı maddesi olarak kullanılmak üzere ASTM C989 tarafından belirtilen minimum karakteristiklere (350 ila $465 \text{ m}^2/\text{kg}$, SiO_2 %31.1 ile %38.59 ve CaO %32.8 ile %43.9 arasındadır) uygun elementler kullanılmıştır. Bileşenlerin değişim yüzdeleri %10 ile %80 arasında değişmektedir. İnce akarsu olarak doğal nehir kumu kullanılmış ve kaba agreganın azami büyülüklüğü 10 ila 20 mm arasında belirlenmiştir. Yapılan deneyler sonucunda, fark edilen değişiklik, silindirden küp kuvvetine olan değişiklik olarak görülmüştür ve $55 \pm 70 \text{ MPa}$ güç aralığında bulunan betonlar için tek bir 0.9

faktörü kullanılarak düzeltilmiştir. Su ile çimento esaslı malzemelerin, farklı değişim yüzdelerinde basınç dayanımı ilişkilerine oranı, bütün betonlar için 28 günlük sonuçları bulunmuştur. Günlük kompresör GGBS'yi içeren %30'a varan yerine geçen betonların kuvvetleri, normal betonlarından biraz daha fazlayken ve diğer tüm yüzdelerde ilişkiler normal betonlarının altında elde edilmiştir. Farklı cürüf değişim yüzdeleri nedeniyle oluşan değişikliklerden, ucuu kül durumunda karşılık gelen değişikliklerden daha küçük olduğu da gözlenmiştir. Dayanım değerlerini tüm değiştirme seviyelerinde normal betona yakın bir seviyeye getirmek için, su-çimentolu malzeme oranları uygulanarak değişiklik yapılmıştır. Sonuçlar incelendiği zaman; değer artıları 28 içinde, "genel güç verimliliği faktörü (k)", %10 ile %80 arasında değişen yüzde değişim seviyeleri için 1,29 ile 0,70 arasındadır. Genel olarak; bu yöntemle, ÖYFC seviyeleri ile %10 ila 80 arasında değişen, 20 ila 100 MPa arasında değişen betonların kestiriminin, normal betonlarda da aynı olan 0.94'lük bir regresyon katsayısı ile sonuçlandığı bulunmuştur.

Kumar ve arkadaşları [15] granüle yüksek fırın cürüfunun mekanik aktivasyonu ve bunun portland cürüf çimentosu özelliklerine ve yapısına etkisini araştırmışlardır. Çalışmalarında; Chhattisgarh (Hindistan) eyaletindeki entegre çelik tesislerinden birinden granüle yüksek fırın cürüfu örneği kullanılmışlardır. Cürüfun kimyasal bileşimi (ağırlıkça% olarak): SiO_2 - 33.1, Al_2O_3 - 21.6, Fe_2O_3 - 0.87, CaO - 33.0, MgO - 8.85. $[(\text{CaO} + \text{MgO} + \text{Al}_2\text{O}_3) / \text{SiO}_2]$ ve $[(\text{CaO} + \text{MgO} + 1/3\text{Al}_2\text{O}_3) / \text{SiO}_2 + 2/3\text{Al}_2\text{O}_3]$ olarak tanımlanan cürüfun, bazlığı sırasıyla 1.9 ve 1'dir. Cürüfun cam içeriği %93 'dür. Alınan %40 cürüf, %55 klinker ve %5 alçı içeren ticari portland cürüf çimentosudur. Çalışmada, tipik olarak erken yaşlarında (7-20 gün) kuvvet azalması gösterirken, %50-70 mekanik olarak aktif cürüf içeren AMCXS numunelerinde, erken kuvvet (3 ve 7 gün) artmıştır. Mekanik aktivasyon nedeniyle, 1 gün kuvvetinde belirgin bir artış gözlenmiştir. Mekanik modifiye edilmiş çimentoda da %45 yüksek fırın cürüfu kullanıldığından benzer bir gözlem rapor edilmiştir. Dayanımındaki artış, değiştirme seviyesindeki artışla daha az belirgin hale gelmiştir. %95 cürüf (örn. AMC95S) içeren numuneler hariç AMCXS %70 cürüfu numuneleri için, IC-A'dan 3 ve 7 gün dayanım da daha yüksek bulunmuştur. AMC70S'nin 28 günlük gücü ticari çimentodan (IC-A) 2 kat daha yüksek bulunmuştur. Cürüf muhtevasında %70'in üzerinde bir artıla 28 günlük dayanım düşmeye başlamıştır. AMC80S ve AMC85S için 28 günlük dayanım IC-A'dan yüksektir. Bununla birlikte, AMC95S, IC-A'dan daha düşük bir güç göstermiştir. Çalışmanın ana sonuçları şunlardır: Cürüfun mekanik aktivasyonu, erken dayanım gelişimi üzerinde olumlu bir etkiye sahiptir. Düşük erken dayanım gelişimi, geleneksel portland cürüf çimentosu içindeki cürüf oranının arttırılmasında önemli bir engeldir. Aktive edilmiş

klinker ve cüruf, aynı kökenli %40 oranında cüruf içeren bir ticari çimento karşısında mukavemete zarar vermeden cürufun %85'ine kadar cürüfla değiştirilmesinin mümkün olduğu bulunmuştur.

Farklı bir çalışmada Ni ve Wang [16] yapmış oldukları çalışmada, betonun basınç dayanımını yapay sınır ağları ile tahmin etmeye çalışmışlardır. Çıktırı etkileyen faktörler ile 28 günlük basınç dayanımıdır. Kullanılan çimento Çin standartlarındaki 425 ve 525 no'lü Portland çimentosudur. Yapılan deneyde yuvarlatılmış ve kırılmış, maksimum boyutu 31,5 ve 40,0 mm olan iki çeşit kaba agregat kullanılmıştır. İnce agregat modülü 1.9 ila 3.4 mm, su / çimento oranı 0.35 ile 0.70 arasındadır. Çimento dozu ise 257 ile 543 kg/m³ arasında değişmektedir. İki çeşit süper akışkanlaştırıcı, FE ve FDN, katkı maddesi olarak seçilmiştir. İki çeşit beton numunesi dökülmüştür. En fazla 40 mm olan kaba agregalar için ilk cins, 150 150 150 mm kübik boyutlara sahiptir. Diğer ise maksimum 31,5 mm büyüğündeki kaba agregalar için 100 100 100 mm'lik kübik boyutta kullanılmıştır. Bunlar, bir kürleme kabinde (% 95'in üzerinde nispi nem, sıcaklık 232 °C) 28 gün boyunca sertleştirilmiştir. 65 karışımı karşılık gelen 28 günlük basınç dayanımı elde edilmiştir. En fazla 31,5 ve 40,0 mm boyutlarında yuvarlatılmış ve ezilmiş olmak üzere iki çeşit kaba agregat kullanılmıştır. İnce agregat modülü 1.9 ila 3.4 mm, su / çimento oranı 0.37 ila 0.70 arasında değişmekte ve çimento dozu 263 ile 570 kg / m³ arasında değişmektedir. Verilerin modele entegre edilmesi sonucunda, bazı etki faktörlerine dayanarak betonun 28 günlük basınç dayanımını tahmin etmenin hızlı bir yolunu sağlayan YSA modelleri oluşturularak doğru tahminler elde edilmiştir.

Topcu ve arkadaşları [17] hafif bir betonun basınç dayanımını yapay sınır ağları (YSA) ile tahmin etmeye çalışmışlardır. Çalışmalarında YSA modeline ek olarak SONREB modeli ile de çalışma yapmışlardır. Deneysel çalışmalarında, Ultrases ve Schmidt okumalarının aynı numunelerde yapılması amacıyla, farklı serilerde bir kenarı 15 cm olan hafif agregat ile küp numuneler üretilmiştir. Kullanılan çimento miktarı 450 kg/m³, 100 kg/m³ kireç taşı tozu ve 50 kg/m³ uçucu külün toplamı ince malzeme miktarını oluşturmaktadır. Karışımındaki su oranı %35'tir. Çalışmada kullanılan Ultrases geçiş süresi ve Schmidt çekici okumaları; 3, 7, 28 ve 90. günlerde basınç dayanımı testine tabi tutulmuştur. YSA modelindeki tahminleme süreci sonucunda, test verilerinin güvenilirlik derecesi % 96 çıkarken, deneysel verilerin tahmin edildikten sonraki güvenilirlik derecesi % 90 çıkmıştır. Yapılan çalışmaların ortak noktası olarak çıkan güvenilirlik testleri ve grafiklerinden elde edilen sonuçlara göre, deneysel çalışmanın ve YSA modelinin birbirlerine çok yakın ölçüde uyumlu olduğunu söyleyebilir. Sonuç olarak YSA ile oluşturulan modelin tahminleme sonuçları güvenilir ve doğru çıkmıştır. Buna ek olarak hata değerlendirmesi aşamasında YSA modelinin %4.5 ile deneysel

çalışmadan çok daha düşük oranda hata vermesi ile YSA modelinin daha iyi sonuç verdiği sonucuna varılmıştır.

Diger bir çalışmada Bagel [18] çalışmada, yüksek fırın cürufu ve silis dumanı içeren üç harçlı çimentoların dayanım ve gözenek yapısını incelemiştir. Sabit çalışma kabiliyetine sahip, yüksek fırın cürufu ve silis dumanı içeren harmanlanmış çimento harçları, performanslarını düz Portland çimento harcı ve cüruf çimentosu harcı ile karşılaştırmak amacıyla, basınç dayanımı ve cıva sizması için test edilmiştir. Çalışmada kullanılan malzemeler; Portland çimentosu, yüksek fırın cürufu ve silika göre silisli sürekli granülometri kumu, harç yapımında kullanılan cüruf tur. Çalışmalar, 28 günlük cüruf aktivite endeksi ile karakterize edilmiştir. Her karışım için, bağlayıcı madde, kum ve suyla karıştırılarak 20 mm küp numune hazırlanmıştır. Silika dumanı ve cüruf tozları çimento ile birlikte karıştırılıp, kalıplarda 24 saat normal sertleşmeden sonra (%98 RH, 20 6 0.5 °C), numuneler çözülüp 20 + 0.5 °C'de suda saklanmıştır. Sıkıştırma testleri 1,7,28 ve 90 günlerde yapılmıştır. Çalışmanın sonucunda; üçlü karışımlarda cürufun bulunması, silika duman inceliğinden kaynaklanan su talebinin artmasının, çimento-silika duman harçlarında olduğu gibi ifade edilmediğini ve dolayısıyla basınç dayanımındaki artışın w / b'ye bağlı olarak düşmediğini kanıtlar. Dolayısıyla, silika dumanı, karışma su azaltıcı katkı eklenmese bile, daha büyük hacimlerde çimento harçlarına ilave edilebilir. Ayrıca, cüruf-silika dumanı karışımı bu harçlardaki çimentonun, çimento-silika duman karışımlarındaki silika dumanından daha fazla miktarda kullanabilmesini sağlar. Çimentonun, harçlarda kısmi olarak değiştirilip, cürufun kullanılması aynı işlenebilirlik ile sadece Portland çimentosu ile benzer harçtan biraz daha yüksek su geçirgenliğine sahip bir malzemeye sonuçlanır. Neticede bu cüruf harcına silika dumanının eklenmesi, geçirgenliği daha da arttırmıştır.

Prasad ve arkadaşları ise [20] yapmış oldukları çalışmada; YSA kullanarak, yüksek hacimli uçucu kül ve kendiliğinden yerleşen beton ile yüksek performanslı betonun basınç dayanımını tahmin etmeye çalışmışlardır. Kullanılan çimentonun içeriği; su/çimento, su/bağlayıcı, su/toz, ince agregat/toz, kaba agregat/toz, yüksek oranda su azaltıcı /toz, uçucu kül/bağlayıcı ve silika/bağlayıcılarından meydana gelmektedir. SCC için bu oranlar giriş değişkeni olarak tanımlanmıştır. Çalışma kapsamında normal portland çimentosu ile yapılan ve normal şartlarda sertleştirilen yaklaşık 300 beton numunesi değerlendirilmiştir. Çalışmada, 28 günlük basınç dayanımı dışında, çökme akışı da öngörlülmüştür. YSA modelinde yer alan giriş parametreleri; çimento içeriği ve su/çimento, su/bağlayıcı, su/toz, ince agregat/toz, kaba agregat/toz, yüksek aralık su döşürücü/toz, VMA/toz, uçucu kül/bağlayıcı ve silika/bağlayıcı oranları olarak 10 tane dir. Normal dereceler için SCC veya HPC'de

yüksek hacimli uçucu kül ile bile, %3-4 mikrosilika ilave edildiğinde, 28 gün sonunda hedef kuvvetine ulaşma olasılığı yeterince yüksek görülmüştür. Son olarak, önceki çalışmalarında YSA'nın aksine bu çalışmada sunulan ağı, betonun yaklaşık 30 ila 60 MPa arasındaki çok çeşitli basınç dayanımları üzerindeki basınç dayanımlarını öngörebilmektedir.

Siddique ve arkadaşları [21] yapay sinir ağları kullanarak, kendiliğinden yerleşen ve dip külü içeren betonun basınç dayanımı tahmini çalışması yapmışlardır. Bu çalışmada ele alınan temel parametreler; çimento içeriği, kum içeriği, kaba agregat içeriği, uçucu kül içeriği, su / toz oranı ve süper akışkanlaştırıcı dozajıdır. YSA-I için kullanılan altı ana değişken: Çimento içeriği; uçucu kül, ince agregat (kum), ıri taneli agregat, su-toz, süper akışkanlaştırıcıdır. YSA-II için kullanılan sekiz ana değişken ise: çimento, uçucu kül, ince agregat (kum) içeriği, alt kül (ince aggreganın kısmen değiştirilmesi olarak), ıri taneli agregat, su-toz, su, süper akışkanlaştırıcıdır. Doğrusal olmayan değişkenleri içeren iki sorunu modellemek için basit bir geri yayılım sinir ağı modeli oluşturulup sonuçlar incelendiğinde; yapay sinir ağını kullanarak yapılan modelleme, literatürdeki verilerde, 28 gün sonra, YSA-I'de 0.9'un üzerinde bir korelasyon katsayısına sahip olan basınç dayanımı için yapıldığı görülmüştür. Geliştirilen modeller, deneyel olaraq elde edilen veriler için her yaşıta daha iyi bulunmuştur. YSA-I'deki toz içeriği için maksimum etki gözlenmiş (çimento + uçucu kül) ve 90 günlük kuvvet için YSA-II hariç gözlemlenmiştir. Ince agregat başka herhangi bir agregat tipi ile değiştirilmediğinden, önem faktörü YSA-I 'de ince agregalar için 30 olarak gözlenmiştir. YSA-II için, ince agregalar (kum+dip külü) için 30 ila 40 arasındadır; alt kül ıri taneli agregalar, YSA-II'nin tüm modellerinde minimum önem faktörü gösterdiği görülmüştür. Yapılan çalışma sonuçları ile birlikte doğru bir tahmin sergilenderek literatüre kaydedilmiştir

Pal ve arkadaşları [21], Öğütülmüş tanecikli yüksek фирм cürufunun betondaki hidrolik aktivitesini incelemiştir. Etkili bir kısmi çimento değiştirme malzemesi olarak kullanılan çelik imalat endüstrisinin, bir yan ürünü olan öğütülmüş granül yüksek фирм cürufunun (ÖYFC), betonun birçok performans özelliğini iyileştirdiği kanıtlanmıştır. ÖYFC'nin reaktivitesinin, cüruf kaynağı, kullanılan hammaddenin tipine, yönteme ve soğutma hızına göre değişen cüruf özelliklerine bağlı olduğu bulunmuştur. Mevcut çalışma, 7 ve 28 günlerde (HI7 ve HI28) Cüruf Hidrolik İndeksi (HI) ile cürufun etki özelliklerini, yani cam içeriğini, inceliği ve kimyasal bileşimi arasında çoklu regresyon analizi kullanarak yeni bir ilişki ortaya koymayı amaçlamaktadır. Çalışma, çeşitli kaynaklardan 37 cüruf örneği üzerinde yapılmıştır. HI7, HI28 ile önemli cüruf özellikleri, yani SiO_2 , CaO , MgO , Al_2O_3 , cam içeriği ve Blaine inceliği arasında bu tür bir korelasyon elde etmek için çaba

gösterilmiştir. İlk denklem SiO_2 ve cürufun cam içeriği kullanılarak geliştirilmiştir. Ayrıca, literatürde sıkça belirtilen kompozisyon modüllerinden ikisi (C/S) ve ($(\text{C} + \text{M} + \text{A})/\text{S}$), Denklemeleri oluşturmak için cam içeriği ile birlikte dahil edilmiştir. Sonuçta, cürufun önemli fiziksel ve kimyasal özellikleri ($\text{SiO}_2, \text{CaO}, \text{MgO}, \text{Al}_2\text{O}_3$, cam içeriği ve Blaine inceliği) HI7 elde etmek için eşzamanlı olarak hesaba katılmıştır. Sonuç olarak; HI'lar, cürufun en önemli fiziksel ve kimyasal özellikleri, yani $\text{SiO}_2, \text{CaO}, \text{MgO}, \text{Al}_2\text{O}_3$, cam içeriği ve Blaine'nin 7 ve 28 günlerinde inceliği ile güçlü bir ilişkisi olduğu bulunmuştur. Bu çalışmada geliştirilen denklemeler kullanarak, cürufun reaktivitesinin bulunmadığı durumlarda bile, cürufun fiziksel ve kimyasal özelliklerini bilerek, cürufun reaktivitesi belirlenmiştir. Cüruf karakteristiklerindeki geniş çeşitlilikte varyasyonlar bu denklemlerde hesaba katılarak; bu durum yalnızca HI'yi değil aynı zamanda cürufun 7 ve 28 gündeki güç performansını da tahmin ettiği öne sürülmüştür

Bilim ve arkadaşları [23] çalışmalarında, öğütülmüş granül yüksek фирм cüruf betonunun basınç dayanımını tahmin etmek için yapay sinir ağları çalışması yapmışlardır. Beton karışım parametreleri üç farklı su - çimento oranı (0,3, 0,4 ve 0,5), üç farklı çimento dozu (350, 400 ve 450 kg m^{-3}) ve dört kısmi cüruf değişim oranı (%20, %40, 60, % ve %80) ile çalışmalarını tamamlamışlardır. Kullanılan çimento, özgül ağırlığı 3,16 g / cm^3 olan ASTM Tip I normal Portland çimentosu ($\text{PC } 42,5 \text{ N/mm}^2$) dur. Blaine spesifik yüzey alanı 3250 cm^2/g ve kimyasal bileşimi, SiO_2 Al_2O_3 Fe_2O_3 CaO MgO SO_3 LOI Na_2O K_2O 'dan oluşmaktadır. Nemli kürlenmiş örneklerin ($22^\circ\text{C} \pm 2^\circ\text{C}$) basınç dayanımları 3, 7, 28, 90 ve 360. günlerde ölçülmüştür. Sonuçlar incelendiğinde, ağırlıkla cüruf değişim, Portland çimentosu betonunun kontrolüne kıyasla kısa vadede betonların gücünü azalttığı tespit edilmiştir. Bununla birlikte, uzun vadede cüruf içeren beton, normal Portland çimentosu betonunkine eşdeğer veya daha büyük bir nihai mukavemet sergilemiştir. Cüruf değişim seviyesinin artmasından kaynaklanan güç kaybı, erken yaşlarda daha belirgin olduğu sonucuna varılmıştır. Bununla birlikte, güç kaybı uzun vadede ortadan kalkmış ve cüruf içeren beton, normal Portland çimentosu betonunkine eşdeğer veya daha yüksek dayanım geliştirdiği görülmüştür. Normal Portland çimentosu betonunun kontrolü ile karşılaştırıldığında, su-çimento esaslı malzeme oranındaki artış, özellikle yüksek oranda cüruf içeren betonun dayanımını daha da azalttığı ispatlanmıştır.

Alshihri ve arkadaşları [24] araştırmalarında, yapay sinir ağları ile 3, 7, 14 ve 28 günlük kürlenme sonrası hafif beton karışımının basınç dayanımını tahmin etmeye çalışmışlardır. Sıkıştırma mukavemeti, sekiz değişkenli bir fonksiyon olarak modellenmiştir ve girdi parametreleri: kum, su / çimento oranı, hafif ağırlıkta ince agregat, hafif ağırlıkta kaba agregat, çözeltide

kullanılan silis dumanı, çimentoya ek olarak kullanılan silika dumanı, süper yumuşatıcı ve kür süresidir. Çıktı parametresi ise basınç dayanımıdır. Çalışmada yerel olarak üretilen sıradan bir Portland çimentosu kullanılmıştır. Çimento içeriği sırasıyla yaklaşık 450, 400 ve 350 kg/m³ olarak kullanılmıştır. Veriler test edilip sonuçlar incelendiğinde, iki YSA uygulamasından, bir hafif beton karışımının 3,7,14, ve 28. gün basınç dayanımı tahmininde geri yayılma ve kademeli bir ilişki tarif edilmiştir. Sonuçlara göre, kaskad korelasyonlu sinir ağ modelinin, geri yayılma ağı çalışmalarına göre daha iyi performans gösterdiği ve çok hızlı bir şekilde ögrentiği gözlenmiştir.

Ji ve arkadaşları [25], yapay sinir ağlarına dayanan somut karışım oranlı bir tasarım algoritması geliştirmiştir. Çalışmada kullanılan malzemeler Çin'de üretilmiş olup, çimento 42.5 Portland çimentosudur. Birinci sınıf bir uçucu kül (Çin Standardı) kullanılmıştır. Süper plastikleştirici TW-7, naftalen tipidir. Kullanılan kaba agregat, maksimum 16 mm partikül büyülüğüne sahip kesintisiz dereceli kırma çakıl ve ince agregat nehir kumudur. On sekiz grup beton karışımı oranları belirlenmiştir. İlk dokuz grup normal beton olup, on ile on sekiz arasındaki gruplar, uçucu kül ve süper akışkanlaştırıcı ile karıştırılmış uçucu kül betonudur. YSA modeli dört girdi parametresi ve bir çıktı parametresinden oluşmaktadır. Araştırmaları sonucunda, betonun karışım oranı ile belirlenen betonun davranışları (dayanım, çökme ve diğerleri), çimento sınıfı ve agregat ve benzeri yapıların niteliği gibi diğer parametrelerin sabit tutulması durumunda beş parametreye bağlı olduğu iddia edilmiştir. Önerilen algoritma tarafından tasarlanan betonun daha düşük çimento ve su içeriğine, daha yüksek dayanıklılığa, daha iyi ekonomik ve ekolojik etkilere sahip olmasını beklemiştir.

Parichatprecha ve Nimityongskul [26] yapay sinir ağları kullanarak yüksek performanslı betonun dayanıklılığının analizini yapmışlardır. Model, önceki araştırmaların yanı sıra deneylerden elde edilen 86 veri seti kullanılarak geliştirilmiş, eğitilmiş ve test edilmiştir. Modeli doğrulamak için, regresyon denklemleri gerçekleştirilmiş ve eğitimli sinir ağı ile karşılaştırılmıştır. Test öngörüsünün ortalama mutlak yüzde hatası (MAPE) sonuçlar % 13,88 ve mutlak varyans oranı (R^2) 0,9741 olarak bulunmuştur. Betonun klorit penetrasyon direnci, herhangi bir su bağlayıcı oranıyla, çimentoyu değiştirmek için en az %20 uçucu kül kullanılarak önemli ölçüde iyileştirilebilmektedir. Herhangi bir su bağlayıcı oranı seviyesinde, çimento en az %5 silis dumanı ile değiştirilirken, betonun klorür iyonlarının geçirgenliği ihmali edilebilir düzeye çok düşük seviyeye kadar sınıflandırılmıştır. Silika dumanının arttırılması, klorür iyonlarının penetrasyon kabiliyetini, ufalanın uçucu külden daha yüksek bir dereceye kadar azaltmaktadır. Silis dumanının çok ince bir parçacık olduğu ve çimento ve uçucu kül ile karşılaştırıldığında daha yüksek kimyasal reaktiviteye

sahip olduğu belirtilmiştir. Eğitimli sinir ağları kullanılarak yapılan benzettim dayanıklılık modeline dayanarak, HPC'yi dayanıklılık açısından tasarlamarak için optimum çimento içeriği 450–500 kg /m³ aralığındadır

Tayfur ve arkadaşları [26] bulanık mantık ve yapay sinir ağları ile yüksek dayanıklı betonun basıncını tahmini çalışması yapmıştır. Bu çalışmada kullanılan çimento, sıradan portland çimentosudur. ASTM C 494'e (veya süperplastikleştirici) (ASTM 2002a) göre Tip F olarak sınıflandırılan, % 42 katı partikül içeren melamin bazlı, silis dumanlı (SD), yüksek araklılı, su azaltıcı bir karışım kullanılmıştır. Miktarları 500,550,600,650 ve 700 kg/m³ olan beş farklı bağlayıcı içeriği kullanılmıştır. Türkiye standartlarına uygun bir sınıflandırma elde etmek için dört farklı agregat grubu (kırılmış kireçtaşı) bir araya getirilmiştir. Maksimum toplam boyut 25 mm'dir. Agregatların derecelendirilmesi sabit tutularak ve ince agregatların kaba agregatlarla oranı, bütün karışımarda 40 /60'dır. Su içeriği 6 cm'lik bir çökme değeri elde etmek için ayarlandı ve buna göre su / çimentolu malzeme oranı yaklaşık 0,26 'dır. Süper akışkanlaştırıcı içeriği, tüm karışımalar için toplam bağlayıcı miktarının % 3'tür. 15 cm'lik küp numuneleri hazırlanarak ve test yaşanıncaya kadar 23 ° C'de su içinde kürlenmiştir. Tüm karışımaların basınç dayanımları, 3,7 veya 28 gün sonra belirlenmiştir. Yöntemlerle elde edilen veriler sonucunda, SD içeren betonların (%5 SD ve 650 kg/m³ bağlayıcı içeriği betonlar hariç) ölçülen dayanımları her yaş için SD içermeyenlerden daha yüksek olduğu tespit edilmiştir. YSA'lar ve FL modelleri, yüksek dayanıklı betonların gücünü tahmin etmede iyi olduğu sonucuna varılmıştır.

Atıcı [27] çalışmasında, çok değişkenli regresyon analizi ve yapay sinir ağı kullanarak mineral katkı betonunun dayanımını tahmin etmiştir. Çalışmada, sıradan Portland çimentosu (PC 42.5 MPa) kullanılmıştır. Çalışmada kullanılan çimentonun özgül ağırlığı 3,11 g/cm³ ve Blaine spesifik yüzey alanı 3100 cm²/g 'dir. Modeli tahmin edebilmek için çalışmada yirmi yedi beton karışımı kullanılmıştır. 20 ± 2 ° C sıcaklıkta ve %65 ± 5 oranında nispeten nemli bırakılmıştır. Tüm örnekler 3,7, 28, 90 ve 180 günlük kuruma sürelerinden sonra test edilmiştir. Genel olarak, tüm numunelerin basınç dayanımları 3,7 ve 28 günlerde artma oranı, 90 gündekinden belirgin şekilde daha az bulunmuştur. Regresyon analizinde ise, üretim öncesi karışım betonunun tahmini için basınç dayanımı bağımlı bir değişken olarak kabul edilirken, çimento, yüksek fırın cürüf ve kürlenme süresi bağımsız değişken olarak belirlenmiştir. Modelin ve istatistiksel analizlerin sonuçları incelendiğinde; farklı kürleme sürelerinde (3,7,28, 90 ve 180 günlerde) beton karışımındaki basınç dayanımı tahminine YSA'nın uygulanması, doğrusal olmayan fonksiyonel ilişkilerin hesaplanması açısından daha uygun bulunmuştur.

Sarıdemir ve arkadaşları [28] herhangi bir deney yapmadan öğütülmüş granüle yüksek фирм cürufu içeren betonların miktarını tahmin etmek için YSA ve bulanık mantık kullanmıştır. Karışımlar; 3,7,14, 28,63,90,119, 180 ve 365 günlükken test edilmiştir. Kürlerin sekiz ayrı kısmı kontrol karışımı olarak hazırlanmış, dördü ise 250,300,350 ve 400 kg/m³ çimento içerikli karışım tasarımları için hazırlanmıştır. Çimento içerikli karışımlardan dördü 175, 210,245 ve 280 kg /m³ olacak şekilde belirlenmiştir. Geriye kalan 12 beton karışımı, aynı birim su içeriğine (168 kg/m³) sahiptir. Çimentolu malzemelerin karşılık gelen birim içeriği (su-çimento oranı) azaldıkça 400'den 622 kg/m³'e yükseltilmiştir. Sonuç olarak, öğütülmüş granül yüksek фирм cüruf betonunun basınç dayanımı değerleri cüruf ve su oranlarının değişimi ile etkilendiği görülmüştür. Ayrıca günden güne basınç dayanım değerlerinin değiştiği saptanmıştır. Böylece yapay sinir ağlarında ve bulanık mantık modellerinde, kısa hata oranları ile çok kısa bir sürede herhangi bir deney yapmadan tahmin edilebileceği sonucuna varılmıştır.

Bir başka çalışmada Kewalramani ve Gupta [30], yapay sinir ağları üzerinden ultrasonik nabız hızını kullanarak beton basınç dayanımı tahmini yapmışlardır. Bu çalışmada, YSA'nın yanı sıra çoklu regresyon analizi de kullanılmıştır. Analiz, sıkıştırma stres dalgalarının hızını ölçen bir yöntem (UPV) ile desteklenmiştir. Çalışma iki farklı şekil ve boyutta iki farklı beton karışımı üzerinde yapılmıştır. 100 mm x 150 mm (A Silindirleri) ve 80 mm x 150 mm (B Silindirleri) boyutunda silindirik numuneler ve 150 mm'lik (A Küpleri) ve 100 mm'lik (B Küpleri) küp numuneleri ile çalışma yapılmıştır. Beton numuneleri UPV için laboratuarda, basınç dayanımı 7,28,183 ve 365. günlük sürelerde test edilmiştir. Beton numuneleri yedi farklı kürleme tekniği kullanılarak kürlenmişdir. Geleneksel kürleme yöntemlerinin yanı sıra, göllenme ve serpme, örnekler 3 ve 7 günlük bir süre boyunca beş farklı renkli polietilen membran tabakaları kullanılarak kürlenmişdir. Ağırlıkların arasında büyük farklılıklar nedeniyle, farklı büyülükteki küpler ve silindirler için ayrı ayrı yapılmıştır. İki yöntem arasında karşılaştırma yapılrsa; yapay sinir ağlarının, betonun basınç dayanımını daha etkin bir şekilde tahmin etmek için kullanılabilceğini göstermektedir.

Naderpour ve arkadaşları [31] çalışmalarında, çok sayıda deneysel veriyi yapay sinir ağları kullanarak, elyaf takviyeli polimer(frp) ile sınırlı betonun basınç dayanımı elde etmek için yeni bir yaklaşım geliştirilmiştir. Altı girdi parametresi, Dairesel beton numunesinin mm cinsinden çapı, dairesel beton numunesinin mm cinsinden yüksekliği, FRP mm cinsinden toplam kalınlığı, FRP'nin kasnak yönünden çekme dayanımı, kısıtlanmamış betonun MPa cinsinden basınç dayanımı, MPa'daki FRP'nin elastik modülüdür. YSA modellemesinde beton ve FRP'nin özellikleri gibi giriş düğümleri olarak kullanılan parametrelere sahip olan çıktı parametresi ise FRP ile

sınırlı betonun basınç dayanımı olarak belirlenmiştir. Levenberg-Marquardt algoritması, giriş vektörlerini ve hedef vektörleri rastgele eğitim, doğrulama ve test dahil üç gruba ayırmıştır. Sinir ağlarının geliştirilmesiyle, FRP-sınırlı betonun basınç dayanımı, beton numunenin çapı ve yüksekliği, toplam FRP kalınlığı, dairesel yönde FRP'nin gerilme dayanımı, FRP'nin elastik modülü ve basınç dayanımı olmak üzere altı girdi parametresi ile ilgili olduğu sonucuna varmışlardır. YSA modelinin deneysel sonuçları öngörmedeki ortalama hatası % 9'dan düşükken, diğer üç model için ortalama hataların %13'ten fazla olduğu tespit edilmiştir. Böylelikle, önerilen model, mevcut deneysel verilerle doğrulanarak ve iyi bir uyum gösterdiği belirtilmiştir.

Tritnik ve arkadaşları [32], ultrasonik nabız hızı ve yapay sinir ağları kullanılarak beton dayanımı tahmini yapmışlardır. Agrega etkisi, ilk beton sıcaklığı, çimento tipi, çevre sıcaklık ve su-çimento oranı kendi deneyleriyle belirlenmiştir Çalışmada, CEM II/A-S, 42.5R, CEM I, 52.5R, CEM I, 42.5N ve CEM I, 42.5N SR. olmak üzere dört tip çimento kullanılmıştır. Deneysel çalışmanın sonuçlarını, taze betonun ilk sıcaklığının, çevre sıcaklığının, çimento türünün ve su-çimento oranının, sunulan değerler arasındaki ultrasonik dalga hızı-betonun basınç dayanımı ilişkisi üzerinde önemli bir etkisi olmadığını ve statik dayanım, dinamik dayanım ve genç betonun Young modülü değerlerinin güvenilir olabileceği göstermiştir.

Sobhani ve arkadaşları [33] somut bileşenleri girdi değişkenleri olarak ele alarak, topaksız betonun 28 günlük basınç dayanımını tahmin etmek için çeşitli regresyon, YSA ve bulanık mantığı temel alan Uyarlamlı Ağ Tabanlı Bulanık Çıkarım Sistemi (ANFIS) modelleri inşa edilerek, eğitilmiş ve test edilmiştir. Bu çalışmada, Tip II Portland çimentosu ve silis dumani çimento esaslı malzemeler olarak kullanılmıştır. Ayrıca, bu çalışmada % 99.0' dan fazla SiO₂ içeren silisli dolgu maddesi kullanılmıştır Sonuçlar neticesinde, karma tasarım optimizasyonunda, yapay sinir ağı ve ANFIS modelleri önerilmektedir.

Chandwani ve arkadaşları [34] hazır beton karışımının çökme analizini genetik algoritmalar (GA) kullanılarak modelleyerek, yapay sinir ağlarını eğitmişlerdir. Çalışma için; çimento, uçucu kül, kum (ince agreba olarak), kaba agreba 20 mm, kaba agreba 10 mm, katkı, su-bağlayıcı oranı ve karşılık gelen çökme değerinden oluşan 560 karışım oranından oluşan beton tasarım karışımı bileşenlerinden oluşan veriler kullanılmıştır. Model için; hazır beton karışım oranı bileşenleri, yani çimento, uçucu kül (PFA), kum, kaba agreba (CA) 20 mm, kaba agreba (CA) 10 mm, karışım ve su bağlayıcı oranı, yedi giriş parametresi kullanılmıştır. Buna bağlı olarak, beton çöküşünün değeri, simir ağı için çıkış parametresini oluşturmuştur. Eğitilmiş hibrit model, belirli bir beton tasarım karışımı için, hızlı bir şekilde beton birikintisinin öngörülmesinde farklı tasarım

karışımı oranlarında çok sayıda deneme yapılmadan kullanılabileceği öngörmüştür.

Yaprak ve Karacı [35] polipropilen lifli betonların yüksek sıcaklığa maruz bırakıldıktan sonraki basınç dayanımlarını yapay sinir ağları modeli ile tahmin etmişlerdir. Çalışmada, polipropilen lif oranına ve sıcaklığı bağlı olarak betonun basınç dayanımının değişimini tahmin edebilecek şekilde; geriye yayılmışlı, iki girişili, tek çıkışlı, on nörona sahip tek gizli katmana sahip bir YSA oluşturulmuştur. Çalışmada kullanılan çimento tipi CEM I 42.5, polipropilen lif, doğal kum, akışkanlaştırıcı ve kırık taş kullanılmıştır. Çökme 12-14 cm aralığında sabit tutulmaya çalışılmıştır ve su-çimento oranı 0.53 olarak belirlenmiştir. Çalışmada 150x300 mm lik kırk sekiz adet silindir numune üretilmiştir. Deneyebe betonlar 20,400,600 ve 800 derece sıcaklığa maruz bırakılarak dayanımları ölçülmüştür. YSA ile üretilen modelde, girdi parametreleri polipropilen lif miktarı ve sıcaklık değişimleriyleken, çıktı parametresi betonun basınç dayanımıdır. YSA modelinde 32 deneyel çalışma yapılmıştır, ağın eğitimi için 20 veri, testi için ise 12 veri seti kullanılmıştır. Yapılan çalışma sonucunda YSA modelinin düzgün sonuçlar verdiği gözlenmiş ve polipropilen lifin betonun basınç dayanımına olumsuz olarak etki ettiği görülmüştür.

Hasgül ve Anagül [36] yapmış oldukları deneyel çalışma yapay sinir ağları ile birlikte geliştirilerek beton dayanımını tahmin etmişlerdir. Çalışmada Portland 42,5 Çimentosu kullanılmıştır. YSA modeli tek karakteristik üzerine kurularak eğitilmiştir ve giriş parametreleri; portland çimentosu 42.5, kompoze portland çimentosu 42,5, uçucu kül, su, kırılmış kum, yıkanmış kum, katkı maddeleri ve kırlı taş kullanılmıştır. Çıktı parametresi ise basınç dayanımı olarak belirlenmiştir. Kurulan YSA modelinde 80 veri kümesi içinden 22 tanesi modeli test etmek amacıyla kullanılmıştır. Deneyel verilerin analizinde ise regresyon analizi kullanılmıştır. Regresyon analizi için 82 veri kullanılmıştır. Regresyon anlızının bağımsız değişkenleri YSA'nın girdi parametreleri ile aynıdır, bağımlı değişkeni ise basınç dayanımı olarak belirlenmiştir. Çalışmanın sonucunda deneyel çalışma (regresyon) ve YSA 'nın sonuçları karşılaştırılmıştır. Sonuçlara göre YSA modelinin regresyona göre çok daha küçük hata değerine sahip olduğu görülmüş, aynı zamanda sapmaların da daha az olduğu tespit edilmiştir

Lai ve Serra [37] çalışmalarında, en önemli karışım tasarım parametreleri atandığında, çimento yapılarının basınç dayanımını değerlendirmeyi amaçlamıştır. Çalışmada kullanılan veriler, sekiz karışım için yapılan geniş kapsamlı deneyel ölçümüleri ifade etmektedir. Oluşturulan YSA geri yayılım algoritması ile eğitilmiş ve 240 veri ile çalışılmıştır. YSA modelindeki girdi parametreleri, Avrupa standartlarına uygun olarak üretilen, 28 günlük plastik harçlı çimento, ince kum, kalın kum, ince agregat, kalın agregat, agregat-çimento

oranları, su-çimento oranları ve plastikleştiricilerdir. Çıktı parametresi ise basınç dayanımı olarak belirlenmiştir. Çalışmanın sonucunda YSA ile başarılı bir şekilde betonun basınç dayanımını tahmin edebilecek bir model geliştirmiştir.

Azar ve arkadaşları [38], silis dumanı içeren beton karışımı üzerinde 28 gün boyunca Portland çimentosunun basınç dayanımını ölçerek, yaptıkları deneylerin sonuçlarına göre, belirli oranlarda silis dumanı ve kağıt atık külü içeren betonun basınç dayanımının arttığını göstermiştir.

Gholampour ve arkadaşları [39], döküm kumu/geri dönüştürülmüş ince agregat ve uçucu kül/ögütülmüş granüle yüksek fırın cürufu oranlarının bir kombinasyonu ile üretilen betonun basınç dayanımını incelemiştir. Sonuçta, betonun basınç dayanımı, su-çimento oranı, agregat-çimento oranı, test yaşı ve yüzde çimento/metakaolin oranlarına dayalı olarak YSA yaklaşımıyla tahmin edilmiştir.

2.2. Çimento ve Betonunun Basınç Dayanımına Etki Eden Faktörlerin Farklı Tahmin Metotları ile Analizi

Çalışmada kullanılan diğer tahmin metotları ise yapay zeka metotları (Genetik Algoritma (GA)), bulanık mantık metotları (ANFIS), ANOVA ve Regresyon gibi yöntemlerdir. Bu metodların YSA ile olan benzer tarafları göz önüne bulundurulduğunda hepsinin tahmin metodu olduğu söylenebilir. Bu metodların güvenilirliği YSA kadar yüksek olabilmektedir. Farklı yöntemlerin seçilmesi, yöntemler arasındaki sonuçların kıyaslanması açısından önem arz etmektedir. Buna göre detaylı olarak ele alınan literatür taramasından elde edilen sonuçlar irdelenmiştir.

Özel ve Topsakal veri madenciliğini kullanarak betonun basınç dayanımını tahmin etmeye çalışmışlardır. Çalışmalarında CEM I 42,5 R tipi çimento, en büyüğü 16 mm olan kalker agregatı, hiper akışkanlaştırıcı katkı ve kırma kum kullanılmıştır. Çalışmaları için, çimento miktarları %1 olarak sabit miktarda tutulmuştur. Veri madenciliği ile betonun basınç dayanımını belirleyebilmek için girdi parametrelerini; karışım, numune alma zamanı, numune boyutu ve çimento dozajı olarak belirlenirken, çıktı parametresi ise basınç değerleri olarak belirlenmiştir. Verilerin %80'i test verisi olarak değerlendirilirken, %20'si analiz verisi olarak değerlendirilmiştir. Çalışmalarının sonucunda, KStar ($R=0.9369$) algoritmasına ait korelasyon katsayısının en yüksek olduğunu belirleyerek betonun basınç dayanımını tahmin etmişlerdir. Beton basınç dayanımını etkileyen en önemli unsurların sırasıyla; çimento miktarı, numune boyutu, numune alma zamanı ve karıştırma metodu olduğunu ortaya koymuşlardır [40].

Başka bir çalışmada Prošek ve arkadaşları [41], yapmış oldukları deneysel çalışmalarla susuz klinkerin atık betonda bulunduğu ve öğütülerek geri kazanılabileceğini göstermişlerdir. Aynı zamanda Portland çimentosunun macunlarda geri dönüştürülmüş malzeme ile değiştirilmesi, gerilme mukavemetinde önemli bir artışa neden olurken, çimentonun ince tozları daha yüksek miktarlarda artık klinker içerdiginde ve ince tanelerin miktarı Portland çimentosu ağırlığının %30'unu geçmediğinde basınç dayanımındaki bozulmanın ihmali edilebilir olduğunu göstermişlerdir.

Benzewr şekilde Ma ve Qian [42], laboratuvara yüksek sıcaklıkta ısıtma ile hazırlanan alkali sülfatların çimento hidratasyonu ve sertleşme özelliklerine etkilerini incelemiştir. Sonuçlara bakıldığından klinker kaynaklı alkali sülfatın betonun basınç dayanımı üzerinde olumsuz etkisinin önemli ölçüde yüksek olduğu bulunmuştur. Dayanımı artırmak için ise çimentodaki $\text{Na}_2\text{Oeq}/\text{SO}_3$ molar oranının <0.5 olması gereği savunulmuştur.

Gholampour ve arkadaşları [43], çimento ikame malzemeleri olarak uçucu kül (FA) ve öğütülmüş yüksek fırın cüruzu (GGBS), kum ikame malzemeleri olarak döküm kumu (FS) ve geri dönüştürülmüş ince agregat (RFA) kullanımı, beton ve inşaat ve yıkım (C&D) atıklarının çevre üzerindeki etkisini azaltmak için yeşil bir yapı malzemesi. FS/RFA ve FA/GGBS kombinasyonu ile üretilen betonun dayanımını deneysel metotlarla ölçmüştür. 17 beton karışımı hazırlanmış ve her karışımın işlenebilirlik, yoğunluk, basınç, yarmada çekme ve eğilme mukavemeti, elastik modülü ve su emmesini değerlendirmek için testler yapılmıştır. FS ve RFA içeriğinde %100'e varan bir artışın betonun basınç dayanımında azalmaya neden olduğu gösterilmiştir. Bununla birlikte, %25 kum ikamesinde RFA içeren beton, geleneksel betona kıyasla biraz daha yüksek basınç dayanımına sahip olduğu tespit edilmiştir.

Ele alınan çalışmada Vakhsouri ve arkadaşları [44], kendiliğinden yerleşen betonun (SCC) basınç dayanımını, karışım oranlarını ve çökme akışını öngören bir model tasarlamaya çalışmıştır. Çalışmalarında ANFIS modellerini on sekiz girdi parametresi kombinasyonunda kullanarak, girdi olarak basınç dayanımı, çökme akışı ve karışım oranları esas alarak aralarında bir ilişki kurmak üzere tasarlamışlardır. Uygulanan veriler, daha önce yapılan deneysel çalışmalarдан alınmıştır. Daha önce yapılan deneysel çalışmaların 55'i, 28 günlük SCC basınç dayanımı ANFIS modellerinde açıklanmıştır. Karışım tasarım oranlarının ve SCC'nin taze özelliklerinin basınç dayanımı üzerindeki etkisi üzerine kapsamlı bir çalışma yapmak için, bu parametrelerin 18 kombinasyonu analiz edilmiş ve sonuçlar karşılaştırılmıştır. ANFIS analizinde, toz hacmini, su / toz oranı ile değiştirmek hata boyutunu 0,08'e

çıkartmıştır. İnce aggrega hacminin, harç hacmine oranını % 45'e kadar artırılması ise basıncı düşürmüştür.

Yuan ve arkadaşları [45], hibrit modellerde genetik tabanlı algoritmalar ve ANFIS methodu ile beton basınç dayanımını tahmin etmişlerdir. Beton kalitesini etkileyen yapısal ve yapılandırılmamış faktörleri araştırmışlardır. Çalışmalarında iki hibrit model önerilmiştir. Bunlardan biri genetik tabanlı algoritma, diğer ise adaptif ağ tabanlı bulanık çıkarım sistemidir (ANFIS). Genetik tabanlı algoritma için, geri yayılım yapay sinir ağının (BP-YSA) ağırlıklarını ve eşiklerini optimize etmek için genetik algoritma (GA) uygulanmıştır. ANFIS modeli için iki farklı bina yapısı incelenmiştir. 28 günlük basınç dayanımı için 180 farklı beton karışımı kullanılmıştır. Tüm testler, standart prosedürler kullanılarak hazırlanan 15 cm'lik silindirik beton numuneleri ile yapılmıştır. Önerilen modellerin sonuçları sırasıyla, GA tabanlı YSA modelinde ve ANFIS modelinde R^2 ; 0.813 ve 0.950 olarak bulunmuştur. GA tabanlı YSA modelinde ve ANFIS modelinde sırasıyla RMSE 2.22 ve 1.46 olarak bulunmuştur. Analizlerin sonuçları, iki hibrit model ANFIS ve GA-YSA'in YSA modelinden daha iyi performans gösterdiğini göstermektedir. Çalışmada ortogonal tasarım kullanılması; YSA ve bulanık mantık tekniklerinin entegrasyonunu içeren ANFIS'in tahmin doğruluğu, parametre belirleme ve kullanım kolaylığı açısından 28-CCS için güvenilir bir model olduğunu onaylamıştır.

Diğer bir çalışmada Tesfamariam ve Najjaran [46], ANFIS metoduna Mix-Desing yöntemini entegre ederek betonun basınç dayanımı tahmin etmeye çalışmışlardır. Çalışmalarında bulanık bir modelin geliştirilmesi ve somut dayanımın hesaplanması için uyarlanabilen, nöro-bulanık çıkarım sistemi önerilmiştir. Bu çalışmada literatürden alınan, A ve B Şirketi olmak üzere iki şirketin gerçek karışım oranlarından yararlanılmıştır. İki şirket arasındaki temel malzeme özelliklerini, kullanılan kum hariç, benzerdir. B Şirketi yalnızca doğal kum kullanırken, A Şirketi hem doğal hem de kırılmış kum karışımlarını kullanmıştır. Model doğrulaması için, Model A ve B'nin her biri için toplam 24 veri kullanılırken, Model A-B için toplam 48 veri kullanılmıştır. Model doğrulama için bulanık çıkarım sistemi modeli öngörülmüş ve gerçek beton kuvveti kullanılmıştır. Sonuçlar incelendiğinde, önerilen model literatürde rapor edilen gerçek verilerle test edilmiş ve doğrulanmıştır. Karşılık gelen mutlak ve göreceli modellerin R^2 'si: Model A için (0.999, 0.984), Model B, için (0.970, 0.995) ve Model AB için (0.999, 0.998) olarak tespit edilmiştir. Önerilen ANFIS modelinin, mutlak girdi parametrelerini bulabilmek için uygun bir yaklaşım olduğu bulunmuştur.

Mirrashid ve arkadaşları [47], ANFIS metodunu kullanarak manyetit agregat içeren betonun basınç

dayanımını tahmin etmişlerdir. Çalışmada; Manetit agregalardan yapılan betonun, farklı büyülüklerde ve betonun farklı yaşlarına bağlı olarak 7,28 ve 42 günlük basınç dayanımının nasıl değiştiği ANFIS methodu ile tahmin edilmiştir. Kullanılan çimento Portland II çimentosudur. Betonun basınç dayanımını belirlemek için iki nöral bulanık model belirlenmiştir. İlk model 25 mm'lik maksimum kaba agregat ebadından oluşurken, ikinci model, 12,5 mm'lik maksimum kaba agregalardan oluşmaktadır. Çalışmanın sonuçlarına bakıldığından; modelin %98 korelasyon katsayısı ve düşük hata orANIyla test edilmesi ANFIS'in, betonun basıncı tahmin etmede uygun olduğunu göstermiştir.

Khademi ve arkadaşları [48], Yapay Sinir Ağ, Uyarlanabilir Nöro Bulanık Çıkarım Sistemi ve Çoklu Doğrusal Regresyon kullanarak geri dönüştürülmüş agregat betonunun basınç dayanımını tahmin etmişlerdir. Parametreler arasında çimento, doğal ince agregat, geri dönüştürülmüş ince agregat, doğal kaba agregalar (10 mm), doğal kaba agregalar (20 mm), geri dönüştürülmüş kaba agregalar (20 mm), geri dönüştürülmüş kaba agregalar (20 mm), katkı ve su bulunmaktadır. Boyutsuz parametreler arasında su-çimento oranı, kum-agregat oranı su/toplam malzeme oranı, geri dönüştürülmüş agreganın doğal agregat hacme göre ve agregat çimento oranına değiştirmeye oranıdır. Yapılan analizler sonucunda, 28 günlük geri dönüştürülmüş agregat betonunun basınç dayanımı tahmininin, YSA ($R^2=0,91$) ve ANFIS ($R^2=0,90$) tarafından MLR'ye ($R^2=0,60$) göre daha iyi yapıldığı sonucuna varılmıştır. Başka bir deyişle, her üç modelin test aşamasını karşılaştırarak, betonun ön karışım tasarımda MLR modelinin kullanılmasının daha iyi olduğu tespit edilmiştir. YSA ve ANFIS modellerinin karışım tasarım optimizasyonunda kullanılması önerilmiştir.

Farklı bir çalışmada Gorninski ve arkadaşları [49], çalışmalarında polimer beton bileşiklerinin esneklik modülünün incelenmiş ve polimer beton ile portland çimento betonunu ANOVA analizi ile karşılaştırmışlardır. Çalışmada; ortoftalik veya izoftalik polyester olmak üzere iki tip bağlayıcı kullanılarak, üretilen polimer beton (PC) bileşiklerinin esneklik modülünü değerlendirmek amaçlanmıştır. Kullanılan kompozisyonlar, uygun maliyetli PC'yi tanımlayan önceki bir çalışmadan seçilmiştir. Kullanılan polimer konsantrasyonları, kuru malzemelerin ağırlığının %12'si ortoftalik polyester ve %13'ü izoftalik polyesterdir. Uçucu kül bir dolgu maddesi olarak kullanılmış ve ağırlıkça %8, %12, %16 ve %20 kül içeren bileşimler ile analizler yapılmıştır. Yapılan ANOVA analizi sonucunda ortaya çıkan istatistiksel sonuçlar, yalıtkanlıktaki reçine tipinin ve uçucu kül konsantrasyonunun, izolasyondaki elastikiyet değerleri modülü üzerinde önemli bir etkiye sahip olduğunu göstermiştir. Aynı zamanda faktörler arasında da bir etkileşimin olduğu gözlenmiştir. Uçucu külün konsantrasyonu, her reçine tipi için farklı etkiler

göstermiştir. Bu, izoftalik polyester PC'nin uçucu külün %16'sı ile en yüksek modülü gösterdiği, ortoftalik polyester PC'nin bileşiminde %20 uçucu kül ile en yüksek değeri gösterdiği sonucuna varılmıştır. İstatistiksel analizler, incelenen faktörlerin, yani reçine tipi ve uçucu kül konsantrasyonunun ve aralarındaki etkileşimlerin anlamlı olduğunu göstermiştir

Koçkal ve Özturan [50], hafif uçucu kül agregalarının, yüksek dayanımlı hafif uçucu kül betonlarının üretiminde uygulanabilir özelliklerinin optimizasyonu çalışması yapmışlardır. Hafif uçucu kül agregalarının yüksek dayanımlı hafif uçucu kül beton üretiminde uygunluk için özelliklerinin optimizasyonu, tepki yüzeyi metodolojisi kullanılarak incelenmiştir. Sinterleme parametreleri (sıcaklık, bağlayıcı içeriği ve bağlayıcı tipi) ile deneyel olaraK elde edilen üç sonuç arasındaki ilişki (öZgül ağırlık, su emme ve kırılma dayanımı) belirlenmiştir. Tahmini tepki yüzeyi modellerinin regresyon parametrelerinin varyans analizi (ANOVA) ile belirlenmiştir. ANOVA seçilen modellerin elde edilen verileri yeterince temsil ettiğini göstermektedir. F değerinin 0,05'ten küçük olması, %95 güven düzeyinde model terimlerinin istatistiksel olarak anlamlı bir uyumsuzluk olduğunu göstermiştir. RSM, deneyel değerlerin, öngörülen modellerin geçerliliğini ve yeterliliğini doğrulayan, öngörülen değerlere makul derecede yakın olduğunu göstermiştir. Modelin iyiliği, R² katsayısı ile kontrol edilmiştir. Regresyon modelleri; ÖZgül Ağırlıkta spesifik yerçekimi ve su absorpsiyonu için belirleme katsayısı (R^2) için 0.78 ile 0.98 arasında değişmiştir ($p <0.05$). Sonuçlar, sıcaklığın kuadratik etkisinin ve sıcaklık ile bağlayıcı içeriği arasındaki etkileşimin, öZgül ağırlık için önemli olduğunu göstermiştir

Bir diğer çalışmada Chen ve arkadaşları [51], geri dönüştürülmüş agregat dolgu malzemelerinin basınç dayanımı ve eğilme dayanımı üzerine duyarlılık faktörleri analizi çalışması yapmışlardır. Çalışmada, 32.5 Standart Portland çimentosu, şehir suyu ve kireç tozu kullanılmıştır. Geri dönüştürülmüş ince agregat, kırma ve eleme işleminden sonra maksimum parçacık boyutu 4.75 mm'den az olan inşaat atığı üreten bir okul binasının onarımından elde edilmiştir. Çeşitli faktörlerin etkilerini daha iyi anlamak için, rejener tuğla granül ve beton bloktan yapılan 96 örnek ile bir araştırma yapılmıştır. Rejener tuğla granül içeriği (rejener tuğla granülü ve beton granülü oranı), su - çimento oranı, agregat - çimento oranı, kireç içeriği ve agregat değişim oranı olarak belirlenmiştir. Geri dönüştürülmüş agregat dolgu duvar malzemelerinin her bir faktör ve seviye arasındaki mekanik özellikleri, basınç dayanımı, eğilme dayanımı ve eğilme-sıkıştırma oranı ile değerlendirilmiştir. $R = 0.708$ in sonucu olarak; doğrusal modelin ve regresyon denkleminin anlamlı olduğu bulunmuştur. Ek olarak, $FI = 15.6068 (17.6770 / 39.2829) > F_{0.1} (10, 5) = 2.52$ regresyon denklemindeki varyans değerinden, lineer varsayımla elde edilen regresyon denkleminin büyük bir öneme

sahip olduğu görülmektedir. Basınç dayanımı, teorik ve ölçülen değerleri, eğilme dayanımı ve eğilme dayanımı oranları arasındaki farkların sırasıyla 0.1-1.7, 0.02-0.53 ve 0.01-0.08 olduğu görülmüştür. Sonuçlar, su-çimento oranının 0.7-0.8 olduğunu ve özellikle geri dönüşümlü agreganın basınç dayanımının ve bükülme dayanımının iyileştirilmesinde etkili olduğunu göstermiştir. Dolgu duvar malzemeleri ve agrega-çimento oranı, eğilme sıkıştırma oranındaki en önemli faktör olarak ortaya çıkmıştır

Yine başka bir çalışmada Aldahdooh ve arkadaşları [52], ultra ince hurma yağı yakıt külü içeren, yeşil ultra yüksek performanslı fiber betonarme betonun geliştirilmesine yönelik bir model tasarlamışlardır. Çalışmada sıradan Portland çimentosu kullanılmıştır. Numuneler için basınç dayanımları 7, 14 ve 28 gün sonra test edilirken, direkt çekme dayanımı, eğilme dayanımı için örnekler 7,28 ve 90 gün sonra test edilmiştir. Diğer mekanik özellikler, 28 günlük basınç dayanımı testine tabi tutulmuştur. Çalışmada, Proses faktörleri (portland çimento - çok ince hurma yağı külü oranı) ve (yoğunlaştırılmış silika dumanı - çok ince hurma yağı külü oranı) ile yanıtlar (basınç dayanımı ve akış) arasındaki etkileşim, varyans analizinden (ANOVA) elde edilmiştir. İkinci dereceden kestirim modellerinin kalitesini ölçmek, model terimlerini değerlendirmek ve model terimlerini kontrol etmek için; R^2 belirleme katsayısı, % 95 güven düzeyinde olasılık değeri (P-değeri) ve (t-Test) %5 anlamlılık düzeyi ($Prob <0.05$) belirlenmiştir. Sinyal / gürültü oranı, 4'ten daha yüksek olan her iki cevap için 66.101 ve 45.87'dir. Bu sonuç, istenen tahmini modeli göstermiş ve öngörülen modellerin doğruluğunu kanıtlamaktadır. Çalışma sonundaki nihai sonuçta belirlenen ölçütler; çimento içeriği 360.25 kg / m³, plastikleştirici içeriği 214.25 kg / m³ ve hurma yağı külü içeriği 290.52 kg / m³ olan 158.28 MPa'lık sıkıştırma kuvvetine sahip yeşil ultra yüksek performanslı fiber takviyeli çimentolu kompozitler üretilmesidir

Phan ve Carino [53], test koşullarının ve karışım oranlarının, yüksek sıcaklığa maruz olan yüksek mukavemetli betonun davranışına etkisini araştırmışlardır. Çalışmalarında amaç; farklı sıcaklıklar ve farklı karışım oranlarına sahip betonların basınç dayanım etkilerini ortaya çıkarmaktır. Çalışmada ASTM (Amerikan Standartları) Tip I Portland çimentosu kullanılarak dört yüksek dayanımlı beton karışımından örnekler alınmıştır. Aynı zamanda, karışımında kaba agrega, 5.40 inceliği modülü (FM), 1520 kg/m³'lik kuru çubuk kütlesel yoğunluğu olan ve 2.60'lık özgül ağırlığı ile kırılmış kireçtaşısı (I3 mm nominal maksimum boyut) kullanılmıştır. İnce agrega, 2.85 FM, 1456 kg /m³'lik bir kuru çubuk kütle yoğunluğu ve özgül ağırlığı 2.63 olan doğal kumdur. Silis dumanı, %54'lük bir katı madde oranı ile bulamaç formunda deneye dahil edilmiştir. Yapılan deneyler; 100, 200, 300 ve 450 C'ye kadar ısıtma için üç teste

tabii tutulmuştur. İstatistiksel olarak anlamlı etkileri tanımlamak için 0,05 ve daha düşük olasılık seviyesi kullanılmıştır. Elastik modülü değerleri, eksik veriler nedeniyle, basınç dayanımı kadar eksiksiz analiz edilememiştir. ANOVA ile yapılan analizde, sıcaklık testi koşulu ve test koşulu-dcm olan iki faktörün etkileşimi olduğu ortaya çıkmıştır. Özette, ANOVA sonuçları, test koşulunun yüksek sıcaklığı maruz kalma nedeniyle ölçülen güç kaybı üzerinde istatistiksel olarak anlamlı bir etkisi olduğunu göstermektedir. Bununla birlikte, verilen bir test koşulu ile ölçülen kuvvet kaybı, maruz kalma sıcaklığına ve beton karışımına bağlı olarak ortaya çıkmıştır. En düşük w/cm (0.22) ve düşük maruz kalma sıcaklıkları (100 ve 200 C) için, rezidüel özellik testi ile ölçülen kuvvet kaybı en düşük çıkmıştır. Öte yandan, daha yüksek sıcaklığı maruz kalma (450 C) ve w/cm (0.57) için, rezidüel özellik testinde kuvvet kaybı en yüksek seviyede ölçülmüştür. Bu sonuçların, yüksek sıcaklıkta ölçülen güçle, aynı yüksek sıcaklığı maruz kaldıktan sonra oda sıcaklığında ölçülen basınç değeri arasında karmaşık bir ilişki olduğu görülmektedir. Bu etkileşimlere bakıldığından, test koşulunun etkisinin maruz kalma sıcaklığına ve w/cm'ye bağlı olduğu tespit edilmiştir

Başka bir çalışmada Tanyıldızı ve Coşkun [54], silis dumanı katkılı hafif betonun fiziksel özelliklerinin parametrelerini belirlemek için ANOVA analizi yapmışlardır. Sıkıştırma ve ayrılma çekme dayanımının deneysel parametreleri için dört seviye silis dumanı (% 0, % 10, % 20 ve % 30) ve iki seviyeli çimento dozajı (400 ve 500 kg/m³) belirlenmiştir. Ayrıca, %20 silis dumanı ve 500 kg / m³ çimento içeriği yüksek değerleri kullanılmıştır. Deneylerde kullanılan çimento tipi CEM-I 42,5 N tipi Portland çimentosudur. Çalışmada kullanılan Ponza taşının maksimum tane çapı 16 mm'dir. Alınan örnekler 20 °C suda 28 gün boyunca kürLENMIŞTIR. Düşük hata oranlarıyla (%3.25 ve %1.26) yapılan deneyler sonucunda, % 20 oranında silis dumanı ve 500 kg/m³ çimento kullanıldığında, hafif betonun basınç ve yarmada çekme dayanımının en yüksek değer alacağı bulunmuştur. ANOVA analizi sonucunda ise, basınç ve yarmada çekme dayanımı üzerinde en büyük etkiye sırası ile kullanılan silis dumanı ve çimento dozaj miktarının etkilediği görülmüştür.

Diğer bir çalışmada Lim ve arkadaşları [55], yüksek performanslı beton karışım oranlarında genetik algoritma kullanarak sonuçları yorumlamışlardır. Bu çalışmada, biyolojik evrimsel süreç (doğal seleksiyon ve doğal genetik) üzerine modellenen küresel bir optimizasyon tekniği olan genetik algoritma kullanılarak ve birçok çözüme sahip olabilecek bir probleme yakın yeni bir optimal çözüm bulmak için kullanılmıştır. Yüksek performanslı beton karışımı için saha testinde istenen özelliklere sahip deneme karışımı sayısını azaltmak için öneriler sunulmuştur. Deneyel araştırmada 189 karışım kümesi

kullanılmıştır. Deneyde normal portland çimentosu kullanılarak, 7 günlük basınç dayanımı gözlenmiştir. Çalışma sonucunda; sıkıştırma mukavemetini etkileyen faktörler, su/bağlayıcı oran, su içeriği (kg/m^3), ince agregat oranı, uçucu külün değişim oranı, silis dumanının değiştirme oranı ve hava sürükleyleci ajanlardır. Öte yandan, toplam / çimento oranı azaldığında su içeriği sabit tutulursa, su/bağlayıcı oranı azalır ve sonuç olarak işlenebilirlik bir miktar azalır, ancak ciddi şekilde etkilenmediği görülmüştür. Ancak, silis dumanının yüksek performanslı betonu

işlenebilirliğini azaltmada etkili olduğu gözlenmiştir. Çalışmanın sonuçlarına bakıldığında, yüksek performans tasarımları için genetik algoritma uygulayarak; beton karışımlarında, istenen özelliklere sahip deneme karışımı sayısının azaltılabilcecini gözlemlemişlerdir.

Çimento ve betonunun basınç dayanımına etki eden faktörlerin yapay zeka ile analizi kronolojik sıra halinde Tablo 1'de özet olarak sunulmuştur.

Tablo 1. Çimento ve Betonunun Basınç Dayanımına Etki Eden Faktörlerin Yapay Sinir Ağrı Metodu (YSA) ile Analizi Özet Tablosu

Çalışma	Problem	Kullanılan Yaklaşım	Doğrulama Parametresi	Kullanılan Parametreler
[36]Lai ve Serra, 1997	Çimento yapılarının basınç dayanım tahmini	Yapay Sinir Ağrı Modeli (Geri yayılım algoritması)	Göreceli hata = 0,05	Çimento, kum, çimento ağırlığı, agregat, akışkanlık
[17]Ni ve Wang, 2000	Betonun basınç dayanım tahmini	Yapay Sinir Ağrı Modeli (Çok katmanlı ileri besleme algoritması)	Toplam hata 0,005	Çimento, su, kaba agregat, ince kum, çökme, katkı maddeleri, sıcaklık
[22]Pal ve diğ., 2003	Öğütülmüş tanecikli yüksek fırın cürufenin betondaki hidrolik aktivitesinin incelemesi	Deney Tasarımı	R= 0,815	Cüruf (SiO_2 , CaO , MgO , Al_2O_3) cam içeriği ve Blaine
[10]Çağlar ve diğ., 2005	Betonarme kırışının hasar analizi tahminini	Yapay Sinir Ağrı Modeli (Geri yayılım algoritması)	Eğitim seti performans eğrileri	Beton, kiriş uzunluğu, kiriş kalınlığı, akışkanlık
Hasgül ve Anagül, 2005	Betonun basınç dayanım tahmini	Yapay Sinir Ağrı Modeli (İleri beslemeli algoritma)	$R^2= 0,94$	Çimento su, uçucu kül katkı maddeleri, yıkamış kum, kırma kum, kırma taş
Ji ve diğ., 2006	Betonlar için somut karışım oranlı bir tasarım algoritması	Yapay Sinir Ağrı Modeli (Geri yayılım algoritması)	SSE = 1.1×10^{-14}	Su-çimento oranı, eşdeğer su-çimento oranı, ortalama macun kalınlığı, uçucu kül-bağlayıcı oranı, ince agregaların tane hacim oranı
[30]Kewalramani ve Gupta, 2006	Beton basınç dayanımı tahmini	Yapay Sinir Ağrı Modeli (İleri beslemeli geri yayılım algoritması)	Hata < %25	Çimento, su
Yüzer ve diğ., 2007	Yüksek sıcaklık etkisinde kalan betonun basınç dayanımı ve renk değişimi ilişkisini	Yapay Sinir Ağrı Modeli (İleri beslemeli geri yayılım algoritması)	R= 0,97	Çimento, (CaO SiO_2 Al_2O_3 Fe_2O_3 MgO SO_3 Kızdırma Kaybı), kalker, silis dumanı, agregat, cüruf, uçucu kül, sıcaklık
[13]Özcan ve diğ., 2009	Silika duman betonunun uzun vadeli basınç dayanımı tahmini	Yapay Sinir Ağrı Modeli (İleri beslemeli algoritma)	$R^2=0,994$	Çimento, Agrega, Silika Dumanı, (SiO_2 , Al_2O_3 , Fe_2O_3 , CaO MgO , SO_3 , K_2O , Na_2O , LOI)

[20] Prasad ve diğ., 2009	Yüksek hacimli uçucu kül ve kendiliğinden yerleşen beton ile yüksek performanslı betonun basınç dayanım tahmini	Yapay Sinir Ağrı Modeli (Geri yayılım algoritması)	$R^2=0,91$	Çimento, su, pudra, uçucu kül, aggrega, bağlayıcı madde,mikrosilika
[23] Bilim ve diğ., 2009	Öğütülmüş granül yüksek fırın cüruf betonunun basınç dayanım tahmini	Yapay Sinir Ağrı Modeli (İleri beslemeli geri yayılım algoritması)	$R^2= 0,92$	Çimento, Agrega, Öğütülmüş Yüksek Fırın Cürufu, Plastikleştirici
[24] Alshihri ve diğ., 2009	Hafif beton karışımının basınç dayanım tahmini	Yapay Sinir Ağrı Modeli (İleri beslemeli geri yayılım algoritması)	$R^2=0,982$	Çimento, İnce Agrega, Kaba Agrega, Su
[26] Parichatprecha ve Nimityongskul, 2009	Yüksek performanslı betonun dayanıklılığının analizini	Yapay Sinir Ağrı Modeli (Geri yayılım algoritması)	$R^2=0,974$	Çimento, uçucu kül, aggrega, su, silika dumani, süperplastikleştirici
[30] Sarıdemir ve diğ., 2009	Öğütülmüş granül yüksek fırın cürufu (GGBFS) içeren betonların miktar tahmini	Yapay Sinir Ağrı Modeli (Geri yayılım algoritması)	$R^2=0,981$	Çimento, su, aggrega
[32] Tritnik ve diğ., 2009	Betonun basınç dayanım tahmini	Yapay Sinir Ağrı Modeli (Çok katmanlı ileri beslemeli sinir ağı)	$R^2=0,80$	Çimento,su,sıcaklık,agrega,kum
[35] Yaprak ve Karacı, 2009	Polipropilen lifli betonların yüksek sıcaklığı maruz bırakıldıktan sonrası basınç dayanım tahmini	Yapay Sinir Ağrı Modeli (Geri yayılım algoritması)	$R= 0,99$	Çimento, doğal kum, kırma tas, polipropilen lif ve akışkanlaştırıcı
[12] Slonski, 2010	Yüksek performanslı betonun basınç dayanımı tahmini	Yapay Sinir Ağrı Modeli(İleri beslemeli algoritma)	$R^2= 0,50$	Çimento, uçucu kül, yüksek fırın cürufu, su, süperplastikleştirici, aggrega
[15] Babu ve Kumar, 2010	Öğütülmüş tanecikli yüksek fırın cürufunun (ÖYFC) betondaki etkinliği	Kimyasal Analiz	Ortalama etki faktörü= $0,9$	Yüksek fırın cürufu, çimento,su
[18] Topçu ve diğ., 2010	Hafif bir betonun basınç dayanım tahmini	Yapay Sinir Ağrı Modeli (İleri beslemeli geri yayılım algoritması)	$R^2 =0,923$	Çimento,Su, Katkı, Uçucu Kül, Kireç Taşı Tozu, Doğal Kum, Pomza
[31] Naderpour ve diğ., 2010	Elyaf takviyeli polimer ile sınırlı betonun basınç dayanım tahmini	Yapay Sinir Ağrı Modeli (Geri yayılım algoritması)	$R^2=0,968$	Beton numunenin çapı, yüksekliği, polimer lifin kalınlığı ve çekme dayanımı, rafine olmayan betonun basınç dayanımı

[33]Sobhani ve diğ., 2010	Betonun basınç dayanım tahmini	Yapay Sinir Ağrı Modeli (İleri beslemeli geri yayılım algoritması)	$R^2 = 0.947$	Kalsiyum oksit (CaO) Silsyum dioksit (SiO_2) Alüminyum oksit (Al_2O_3) Demir oksit (Fe_2O_3) Magnezyum oksit (MgO) Sodyum oksit (Na_2O) Potasyum oksit (K_2O) Kükürt trioksit (SO_3) Tri kalsiyum silikat (C_3S) Di kalsiyum silikat (C_2S) Tri kalsiyum alüminat (C_3A)
[12]Wang ve diğ., 2011	Çelik cürufunun mineral bileşimlerini değiştirek hidrasyon aktivitesinin artırılması	Termogravimetrik analiz	Termogravimetri = %5,82, %20,08	Çimento, Çelik cürufu, Al,Mg,Si, Na, P,S,K, CaO, FeO,MnO,MgO , Fe_3O_4 , C_2F
[21]Siddique ve diğ., 2011	Kendiliğinden yerleşen ve dip külü içeren betonun basınç dayanımı tahmini	Yapay Sinir Ağrı Modeli (geri yayılım algoritması)	$R^2=0,919$	Çimento, kum, kaba agregat, uçucu kül, kum, su, dip külü, süperakışkanlaştırıcı
[27]Atıcı, 2011	Mineral katkı betonunun dayanım tahmini	Yapay Sinir Ağrı Modeli (Geri yayılım algoritması)	$R = 0,89$	Agregat (SiO_2) Al_2O_3 Fe_2O_3 CaO MgO SO_3 K_2O Na_2O LoI Kireç Çözünmeyen kalıntı) Çimento Yüksek fırın cürufu Uçucu Kül
[8]Dantas ve diğ., 2013	Beton içeren inşaat ve yıkım atıklarının basınç dayanımı tahmini	Yapay Sinir Ağrı Modeli (Çok katmanlı ileri beslemeli algoritma)	$R^2= 0.971$	Çimento, Su, Agrega, Geri Dönüşümlü Harç, Kırmızı S
[26]Tayfur ve diğ., 2013	Yüksek dayanımlı betonun dayanım tahmini çalışması	Yapay Sinir Ağrı Modeli (İleri besleme algoritması)	$R = 0,80$	Çimento, Agrega,Su $\text{CaO},\text{SiO}_2,\text{Al}_2\text{O}_3,\text{Fe}_2\text{O}_3$ $\text{Na}_2\text{O},\text{SO}_3,\text{LoI},\text{Yerçekimi}$ Blaine
[36]Chandwani ve diğ., 2015	Hazır beton karışımının çökme analizi	Yapay Sinir Ağrı Modeli (Geri yayılım algoritması)	$R= 0,979$	Çimento, Uçucu Kül, Kum, Agrega, Çökeltici, Su Bağlayıcı
[9]Özbakır ve Nauf, 2016	Agregar hammaddesinin fiziksel özelliklerinin beton dayanımına etkisi	Yapay Sinir Ağrı Modeli (Geride Yayılmaya Öğrenme algoritması)	$R^2 = 0,93$	Çimento, Kül, Kırmızı Kum, Dere Kumu
[38]Azar ve arkadaşları, 2019	Silis dumanı içeren beton karışımı ve portland cimentosu	Verilerin deney sonuçlarına göre YSA modeli ile önerilmesi	Betonun bacıncı dayanımı	Silis dumanı, kağıt atık külü içeren betonun, Portland Çimentosu

[39]Gholampour ve arkadaşları, 2020	Döküm kumu/geri dönüştürülmüş ince agrega ve uçucu kül, ÖYFC'nin basınç dayanımına etkisi	Su-çimento oranı, agrega-çimento oranı, test yaşı ve yüzde çimento/metakaolin oranlarına dayalı olarak YSA yaklaşımlıyla tahmin	Betonun bacınç dayanımı	Su-çimento oranı, agrega-çimento oranı, test yaşı ve yüzde çimento/metakaolin oranlarına
-------------------------------------	---	---	-------------------------	--

III. TARTIŞMA

Yapılan geniş çaplı literatür taramalarının sistematik bir şekilde derlenmesi sonucunda, çimento ve betonun içerisinde bulunan bileşenler ve hammaddelein basınç dayanımını nasıl etkilediği özet bir şekilde sunulmuştur. Konuya ilgili 1997- 2021 yılları arasında yayınlanmış 1012 çalışma incelenmiş ve analiz edilmiştir. Araştırmaya dahil edilecek olan kriterler göz önünde bulundurularak 52 yayın çalışma için uygun bulunmuş ve çalışmada yer verilmiştir. Yayınlar konu, limit ve bileşen karşılaştırımları açısından değerlendirilmiştir. Çalışmada Science Direct, Pergamon, Elsevier ve ULAKBİM veri tabanları kullanılmıştır. Çalışmada Türkçe ve İngilizce yayınlar tercih edilmiştir. Ayrıca 'Factors Affecting Compressive', 'Cement Components' anahtar kelimeleri kullanılarak taramıştır.

Bu kapsamda; çimento ve betonu oluşturan bileşenlerin miktarlarının değişmesi basınç dayanımının değişmesine neden olduğu görülmüştür. Genel olarak ele alınan kürlenme sürelerinin basınç dayanımı üzerinde çok önemli bir etki yarattığı tespit edilmiştir.

Diğer makalelerde [56-59] bildirildiği gibi, C₃A ve CaCO₃ karboalüminat hidratları arasındaki reaksiyona girer ve basınç dayanımını etkilediği bulunmuştur. Bunun yanı sıra küçük kireçtaşılı ilavelerinin hem basınç dayanımı hem de hidrasyon ısısı üzerindeki etkileri nispeten iyi bilinmektedir, ancak bu etkilerin klinker özelliklerine (örneğin C₃S içeriği), çimentonun inceligiine ve diğer faktörlere olan bağımlılığı hakkında daha az şey bilinmektedir.

- Portland çimentosuna kireçtaşılı ilavesi, basınç dayanımı, su talebi, işlenebilirlik, dayanıklılık [1 ± 7] gibi çeşitli çimento özelliklerini önemli ölçüde iyileştirebilir ve ayrıca üretim maliyetlerini düşürebilir [56]. Portland çimentosunun dayanımı artırmak için ise çimentodaki Na₂Oeq/SO₃ molar oranının <0.5 olması gerektiği savunulmuştur.

- Su-çimento oranının 0.7-0.8 olduğu durumlarda ve özellikle geri dönüşümlü aggreganın basınç dayanımının ve büükülme dayanımının iyileştirilmesinde etkili olduğunu göstermiştir. Dolgu duvar malzemeleri ve agrega-çimento oranı, eğilme-sıkıştırma oranındaki en önemli faktör olarak ortaya çıkmıştır.

- Silika dumanının 28 güne kadar kısa sürede basınç dayanımını etkilediğini, ardından 28 günden sonra silika dumanının basınç dayanımı üzerindeki etkisini azalttığını göstermiştir. Aynı zamanda %20 oranında silis dumanı ve 500 kg/m³ çimento kullanıldığında, hafif betonun basınç ve yarmada çekme dayanımının en yüksek değer alacağı bulunmuştur.

- Sıcaklığın kuadratik etkisinin ve sıcaklık ile bağlayıcı içeriği arasındaki etkileşimin, özgül ağırlık için önemli olduğunu göstermiştir.

- Yüksek fırın cürufunun çimentolara eklenmesiyle basınç dayanımının arttığı görülmüştür. Beton basınç dayanımını etkileyen en önemli unsurların sırasıyla; çimento miktarı, numune boyutu, numune alma zamanı ve karıştırma metodu olduğu belirlenmiştir.

- Normal Portland çimentosu betonunda; su-çimento esaslı malzeme oranındaki artış, özellikle yüksek oranda cüruf içeren betonun dayanımını daha da azalttığı ispatlanmıştır.

IV. SONUÇ

Genel olarak çalışma kapsamında betonun ve çimentonun basınç dayanımına etki eden kriterler ve farklı bileşenler ayrıntılı olarak incelenmiştir. Çalışmada 52 yayının ortak bileşenleri, kriteleri ve birbirinden farklı bileşen ve kriterleri ortaya çıkarılarak sonuçlar ayrıntılıyla sunulmuştur.

Özetle; C₃A ve CaCO₃ karboalüminat hidratları arasındaki reaksiyona girer ve basınç dayanımını etkilediği bulunmuştur. Su-çimento oranının 0.7-0.8 olduğu durumlarda ve özellikle geri dönüşümlü aggreganın basınç dayanımının ve büükülme dayanımının iyileştirilmesinde etkili olduğu görülmüştür. Sıcaklığın kuadratik etkisinin ve sıcaklık ile bağlayıcı içeriği arasındaki etkileşimin, özgül ağırlık için önemli olduğunu göstermiştir. Silika dumanının 28 güne kadar kısa sürede basınç dayanımını etkilediğini, ardından 28 günden sonra silika dumanının basınç dayanımı üzerindeki etkisini azalttığını görülmüştür. Portland çimentosunun dayanımı artırmak için ise çimentodaki Na₂Oeq/SO₃ molar oranının <0.5 olması gerektiği savunulmuştur.

Böylelikle; ileriki çalışmalara rehber olabilecek bu çalışmada, yapılan beton veya çimento karışımlarında herhangi bir maddenin değişmesi, miktarının artması veya azalması, uygun sıcaklıkların ve parça büyülüklerinin değişmesi ve kürlenme günleri değiştiğinde basınç dayanımının nasıl değiştiği anlaşılabilecektir. Ayrıca çalışmadan elde edilen spesifik bilgiler, gelecekte oluşturulabilecek beton ve çimento karşıları hakkında bilgi edinilmesine yardımcı olabilecektir. Gelecekteki araştırmalar ve çalışmalar; sonuç bölümünde belirtilen maddelerin irdelenmesiyle, yeni ve güncel betonun basınç dayanımı ile ilgili çalışmalarla kıyaslanabilecektir. Beton/çimento karışımı için farklı bileşenlerin eklenip çıkarılması ile oluşabilecek basınç dayanımlarını farklı açılardan da analiz edebileceklerdir.

KAYNAKLAR

- [1] Korkmaz, A.V., (2020). Hammadde Ve Klinker Öğütülebilirliklerinin Çimento Üretiminde Enerji Tüketimine Etkisinin Araştırılması. *Bilimsel Madencilik Dergisi*, 59(3).
- [2] TS EN 197-1 (2002). Genel Çimentolar- Bölüm 1: Genel Çimentolar- Bileşim, Özellikler ve Uygunluk Kriterleri, Türk Standardları Enstitüsü.
- [3] TS EN 197-2 (2002). Çimento- Bölüm 2: Uygunluk Değerlendirmesi, Türk Standardları Enstitüsü.
- [4] TS EN 196-2 (2002). Çimento Deney Metodları- Bölüm 2: Çimentonun Kimyasal Analizi, Türk Standardları Enstitüsü.
- [5] TS EN 196-21,(2002). Çimento Deney Metodları- Bölüm 21: Klörür, Karbon Dioksit ve Alkali Muhtevası Tayini, Türk Standardları Enstitüsü.
- [6] Yao, X., (1999). Evolving artificial neural networks. *Proceedings of the IEEE*, 87(9), 1423-1447.
- [7] Sarle, W.S., (1994). Neural networks and statistical models.
- [8] Dantas A.T.A., Leite M.B., & Jesus Nagahama de K., (2013). Prediction of compressive strength of concrete containing construction and demolition waste using artificial neural networks. *Construction and Building Materials*, 38, 717-722
- [9] Nasuf S.E., & Özbaşır O., (2016). Agregaların Fiziksel Özelliklerinden Yola Çıkılarak Beton Dayanımlarının Yapay Sinir Ağları İle Kestirilmesi". *Selçuk Üniversitesi Mühendislik, Bilim ve Teknoloji Dergisi*, 4(3) ,165-172.
- [10] Çağlar N., Küyük H.S., & Köksal H.O., (2007).Yapay Sinir Ağları İle Betonare Kırışlerin Hasar Analizi. 2005.
- [11] Yüzer, N., B. Akbaş, & Kızılkanat A.B. Predicting the compressive strength of concrete exposed to high temperatures with a neural network model, in *TÇMB, 3rd International Symposium Sustainability in Cement and Concrete*, İstanbul.
- [12] Wang, Q., Yan P., & Feng, J., (2011). A discussion on improving hydration activity of steel slag by altering its mineral compositions. *Journal of hazardous materials*, 186(23), 1070-1075.
- [13] Słoński, M., (2010). A comparison of model selection methods for compressive strength prediction of high-performance concrete using neural networks. *Computers & structures*, 88(21-22) 1248-1253.
- [14] Özcan, F., Atış, C. D., Karahan, O., Uncuoğlu, E., & Tanyıldızı, H., (2009). Comparison of artificial neural network and fuzzy logic models for prediction of long-term compressive strength of silica fume concrete. *Advances in Engineering Software*, 40(9), 856-863.
- [15] Babu, K.G., & Kumar, V.S.R., (2000) Efficiency of GGBS in concrete. *Cement and Concrete Research*, 30(7) 1031-1036.
- [16] Kumar, S., Kumar, R., Bandopadhyay, A., Alex, T. C., Kumar, B. R., Das, S.K., & Mehrotra, S.P., (2008). Mechanical activation of granulated blast furnace slag and its effect on the properties and structure of portland slag cement. *Cement and Concrete Composites*, 30(8), 679-685.
- [17] Ni, H.-G., & Wang J.-Z., (2000). Prediction of compressive strength of concrete by neural networks. *Cement and Concrete Research*, 30(8), 1245-1250.
- [18] Topçu, İ.B., Uygunoğlu, T., & İnce H.H., (2010). Hafif Beton Basınç Dayanımının Yapay Sinir Ağları İle Tahmini. *Yapi Teknolojileri Elektronik Dergisi*, 6(1), 19-29.
- [19] Bagel, L., (1998).Strength and pore structure of ternary blended cement mortars containing blast furnace slag and silica fume. *Cement and Concrete Research*, 28(7), 1011-1022.
- [20] Prasad, B.R., Eskandari H., & Reddy B.V., (2009). Prediction of compressive strength of SCC and HPC with high volume fly ash using ANN. *Construction and Building Materials*, 23(1), 117-128.
- [21] Siddique, R., Aggarwal, P., & Aggarwal, Y., (2011).Prediction of compressive strength of self-compacting concrete containing bottom ash using artificial neural networks. *Advances in engineering software*, 42(10), 780-786.
- [22] Pal, S., Mukherjee A., & Pathak S., (2003) .Investigation of hydraulic activity of ground granulated blast furnace slag in concrete. *Cement and Concrete Research*, 33(9),1481-1486.
- [23] Bilim, C., Atış, C.D., Tanyıldızı, H., & Karahan, O., (2009). Predicting the compressive strength of ground granulated blast furnace slag concrete using artificial neural network.

- Advances in Engineering Software, 40(5), 334-340.
- [24] Alshihri, M.M., Azmy, A.M., & El-Bisy, M.S., (2006). Neural networks for predicting compressive strength of structural light weight concrete. *Construction and Building Materials*, 23(6), 2214-2219.
- [25] Ji, T., Lin, T., & Lin, X., (2006). A concrete mix proportion design algorithm based on artificial neural networks. *Cement and Concrete Research*, 36(7), 1399-1408.
- [26] Parichatprecha, R., & Nimityongskul P., (2009). Analysis of durability of high performance concrete using artificial neural networks. *Construction and Building Materials*, 23(2), 910-917.
- [27] Tayfur, G., Erdem, T.K., & Kırca, Ö., (2013). Strength prediction of high-strength concrete by fuzzy logic and artificial neural networks. *Journal of Materials in Civil Engineering*, 26(11), 04014079.
- [28] Atici, U., (2011). Prediction of the strength of mineral admixture concrete using multivariable regression analysis and an artificial neural network. *Expert Systems with applications*, 38 (8), 9609-9618.
- [29] Saridemir, M., Topcu, İ.B., Özcan, F., & Severcan, M.H., (2009). Prediction of long-term effects of GGBFS on compressive strength of concrete by artificial neural networks and fuzzy logic. *Construction and Building Materials*, 23(3), 1279-1286.
- [30] Kewalramani, M.A., & Gupta, R., (2006). Concrete compressive strength prediction using ultrasonic pulse velocity through artificial neural networks. *Automation in Construction*, 15(3), 374-379.
- [31] Naderpour, H., Kheyroddin, A., & Amiri, G.G., (2010). Prediction of FRP-confined compressive strength of concrete using artificial neural networks. *Composite Structures*, 92 (12), 2817-2829.
- [32] Trtnik, G., Kavčič, F., & Turk, G., (2009). Prediction of concrete strength using ultrasonic pulse velocity and artificial neural networks. *Ultrasonics*, 49(1), 53-60.
- [33] Sobhani, J., Najimi, M., Pourkhoshidi, A.R., & Parhizkar, T., (2010). Prediction of the compressive strength of no-slump concrete: A comparative study of regression, neural network and ANFIS models. *Construction and Building Materials*, 24(5), 709-718.
- [34] Chandwani, V., Agrawal, V., & Nagar, R., (2015). Modeling slump of ready mix concrete using genetic algorithms assisted training of Artificial Neural Networks. *Expert Systems with Applications*, 42 (2), 885-893.
- [35] Yaprak, H. & Karaci, A., (2009). Polipropilen lifli betonların yüksek sıcaklık sonrası basınç dayanımlarının yapay sinir ağları ile tahmini. *International Journal of Engineering Research and Development*, 2, 23-28,
- [36] Hasgül, Ö., & Anagün, A.S., (2005). Deneysel Sonuçların Analizinde Yapay Sinir Ağları Kullanımı ve Beton Dayanım Testi İçin Bir Uygulama, *V. Ulusal Üretim Araştırmaları Sempozyumu*, İstanbul Ticaret Üniversitesi 133-139.
- [37] Lai, S. & Serra, M., (1997). Concrete strength prediction by means of neural network. *Construction and Building Materials*, 11(2), 93-98.
- [38] Azar, J. P., Najarchi, M., Sanaati, B., Najafizadeh, M. M., & Mirhosseini, S.M., (2019). The Experimental Assessment of the Effect of Paper Waste Ash and Silica Fume on Improvement of Concrete Behavior. *KSCE Journal of Civil Engineering*, 23(10), 4503-4515.
- [39] Gholampour, A., Zheng, J., & Ozbakkaloglu, T., (2021). Development of waste-based concretes containing foundry sand, recycled fine aggregate, ground granulated blast furnace slag and fly ash. *Construction and Building Materials*, 121004.
- [40] Özel, C. & Topsakal, A., (2014). Veri Madenciliği Kullanarak Beton Basınç Dayanımının Belirlenmesi. *Cumhuriyet Üniversitesi Fen-Edebiyat Fakültesi Fen Bilimleri Dergisi*, 35(1), 1-11.
- [41] Prošek, Z., Trejbal, Nežerka, J., Goliáš, V., Faltus, V.M., & Tesárek, P., (2020). Recovery of residual anhydrous clinker in finely ground recycled concrete. *Resources, Conservation and Recycling*, 155, 104640.
- [42] Ma, Y., & Qian, J. (2016). Effect of Alkali Sulfate on Workability, Strength and Volume Stability Related to SCC. Washington DC, USA 15-18 May 2016 Edited by Kamal H. Khayat, 841.
- [43] Gholampour, A., Zheng, J., & Ozbakkaloglu, T., (2020). Development of waste-based concretes containing foundry sand, recycled fine aggregate, ground granulated blast furnace slag and fly ash. *Construction and Building Materials*, 121004.
- [44] Vakhshouri, B., & Nejadi, S., (2018). Prediction of compressive strength of self-compacting concrete by ANFIS models. *Neurocomputing*, 280, 13-22.
- [45] Yuan, Z., L.-N., Wang, & Ji, X., (2014). Prediction of concrete compressive strength: Research on hybrid models genetic based algorithms and ANFIS. *Advances in Engineering Software*, 67, 156-163.
- [46] Tesfamariam, S., & Najjaran, H., (2007). Adaptive network-fuzzy inferencing to estimate concrete strength using mix design. *Journal of*

- Materials in Civil Engineering.* 19(7), 550-560.
- [47] Mirrashid, M., Jafari, M., Akhlaghi, A., & Vahidnia, A., (2013). Prediction of compressive strength of concrete containing magnetite aggregates using Adaptive Neural Fuzzy Inference System (ANFIS). *4th Internatinal Conf. Concr. Dev.*, Tehran, Iran.
- [48] Khademi, F., Jamal, S.M., Deshpande, N., & Londhe, S., (2016). Predicting strength of recycled aggregate concrete using artificial neural network, adaptive neuro-fuzzy inference system and multiple linear regression. *International Journal of Sustainable Built Environment*, 5(2), 355-369.
- [49] Gorninski, J. P., Dal Molin, D. C., & Kazmierczak, C.S., (2004). Study of the modulus of elasticity of polymer concrete compounds and comparative assessment of polymer concrete and portland cement concrete. *Cement and concrete research*, 34(11), 2091-2095.
- [50] Kockal, N.U., & Ozturan T., (2011). Optimization of properties of fly ash aggregates for high-strength lightweight concrete production. *Materials & Design*, 32(6), 3586-3593.
- [51] Chen, Z., Zhang, Y., Chen, J., & Fan, J., (2018). Sensitivity factors analysis on the compressive strength and flexural strength of recycled aggregate infill wall materials. *Applied Sciences*, 8(7), 1090.
- [52] Aldahdooh, M., Bunnori, N.M., & Johari, M.M., (2013). Development of green ultra-high performance fiber reinforced concrete containing ultrafine palm oil fuel ash. *Construction and Building Materials*, 48,379-389.
- [53] Phan, L.T., & Carino, N.J., (2008). Effects of test conditions and mixture proportions on behavior of high-strength concrete exposed to high temperatures. *ACI Materials Journal*, 99 (1,) 54-66.
- [54] Tanyildizi, H. & Coşkun, A., (2013). Varyans analizi (ANOVA) yöntemi ile silis dumani katkılı hafif betonun mekanik özelliklerine deney parametrelerinin etkilerinin belirlenmesi. *Erciyes Üniversitesi Fen Bilimleri Enstitüsü Fen Bilimleri Dergisi*, 29(3), 227-233.
- [55] Lim, C.-H., Yoon, Y.S. & Kim, J.-H., (2004). Genetic algorithm in mix proportioning of high-performance concrete. *Cement and Concrete Research*, 34(3), 409-420.
- [56] Livesey, P., (1991). Performance of limestone-filled cements, in: R.N. Swamy(Ed.). *Blended Cements in Construction*, Elsevier, London, 1 -15.
- [57] Cochet, G., & Sorrentino, F., (1993). Limestone filled cements: Properties and uses, in: S.L. Sarkar, S.N. Ghosh (Eds.). *Mineral Admixtures in Cement and Concrete*, 4, ABI Books, New Delhi, 266 -295.
- [58] Klemm, W.A., & Adams, L.D., (1990). An investigation of the formation of carboaluminates, in: P. Klieger, R.D. Hooton (Eds.). *CarbonateAdditions to Cement*, STP 1064, ASTM, Philadelphia, 60 -72.
- [59] Sawicz, Z., & Heng, S.S., (1996). Durability of concrete with addition of limestone powder. *Magazine of Concrete Research*, 48(175), 131-137.